



OFICINA ESPAÑOLA DE PATENTES Y MARCAS

ESPAÑA



11) Número de publicación: 2 747 815

(51) Int. CI.:

C07K 14/755 (2006.01) A61K 38/36 (2006.01) A61K 38/37 (2006.01) A61P 7/04 (2006.01)

(12)

### TRADUCCIÓN DE PATENTE EUROPEA

T3

08.06.2015 PCT/EP2015/062730 (86) Fecha de presentación y número de la solicitud internacional:

(87) Fecha y número de publicación internacional: 10.12.2015 WO15185758

(96) Fecha de presentación y número de la solicitud europea: 08.06.2015 E 15732554 (9) 07.08.2019

(54) Título: Preparación que comprende péptidos de factor VIII y factor von Willebrand

(30) Prioridad:

06.06.2014 EP 14171579

(45) Fecha de publicación y mención en BOPI de la traducción de la patente: 11.03.2020

(97) Fecha y número de publicación de la concesión europea:

(73) Titular/es:

**OCTAPHARMA AG (100.0%)** Seidenstrasse 2 8853 Lachen, CH

EP 3152230

(72) Inventor/es:

KANNICHT, CHRISTOPH; SOLECKA, BARBARA; KOHLA, GUIDO y WINGE, STEFAN

(74) Agente/Representante:

ROEB DÍAZ-ÁLVAREZ, María

#### **DESCRIPCIÓN**

Preparación que comprende péptidos de factor VIII y factor von Willebrand

5 La presente invención se refiere a preparaciones farmacéuticas para tratar trastornos hemorrágicos.

#### Antecedentes de la invención

El factor VIII («FVIII») es una glicoproteína del plasma sanguíneo de aproximadamente 280 kDa de masa molecular.

10 Está involucrado en la cascada de reacciones de coagulación que conducen a la coagulación sanguínea. El trastorno hemorrágico más común es causado por una deficiencia del factor VIII funcional, llamado hemofilia A. Se trata con el reemplazo del factor VIII, ya sea derivado del plasma o recombinante. El factor VIII se usa para el tratamiento agudo y profiláctico de las hemorragias en pacientes con hemofilia A.

15 La secuencia de aminoácidos del factor VIII está organizada en tres dominios estructurales: un dominio A triplicado de 330 aminoácidos, un dominio B simple de 980 aminoácidos y un dominio C duplicado de 150 aminoácidos. El dominio B no tiene homología con otras proteínas y proporciona 18 de los 25 sitios potenciales de glicosilación unidos a asparagina (N) de esta proteína. El dominio B aparentemente no tiene función en la coagulación. Las moléculas del factor VIII con dominio B eliminado tienen actividad procoagulante sin cambios en comparación con el factor VIII de longitud completa. Algunas preparaciones de factor VIII recombinante (rFVIII) tienen un dominio B eliminado.

En plasma, el factor VIII se estabiliza mediante asociación con la proteína del factor Von Willebrand («vWF»), que parece inhibir la eliminación del factor VIII, por ejemplo, por proteólisis o aclaramiento mediado por receptor a través del receptor de LRP. En circulación, el factor von Willebrand está presente en un exceso molar de 50 veces con 25 respecto al factor VIII en condiciones fisiológicas normales.

El factor von Willebrand es una glicoproteína adhesiva multimérica presente en el plasma de los mamíferos, que tiene múltiples funciones fisiológicas. Durante la hemostasia primaria, el factor von Willebrand actúa como un mediador entre los receptores específicos en la superficie de las plaquetas y los componentes de la matriz extracelular, como el colágeno. Además, el factor von Willebrand sirve como portador y proteína estabilizante para el factor VIII procoagulante. El factor von Willebrand se sintetiza en células endoteliales y megacariocitos como una molécula precursora de 2813 aminoácidos. El polipéptido precursor, factor pre-pro- von Willebrand, consiste en un péptido señal de 22 residuos, un pro-péptido de 741 residuos y el polipéptido de 2050 residuos que se encuentra en el factor von Willebrand en plasma maduro (Fischer y col., FEBS Lett. 351: 345-348, 1994). Tras la secreción en plasma, el factor von Willebrand circula en forma de varias especies con diferentes tamaños moleculares. Estas moléculas del factor von Willebrand consisten en oligómeros y multímeros de la subunidad madura de 2050 residuos de aminoácidos. El factor von Willebrand se puede encontrar generalmente en plasma como multímeros que varían en tamaño aproximadamente de 500 a 20.000 kDa (Furlan, Ann Hematol. junio de 1996; 72(6): 341-8).

40 La vida media *in vivo* promedio del factor VIII humano en la circulación humana es de aproximadamente 12 horas. El factor von Willebrand podría disminuir las posibles inmunorreacciones contra el factor VIII cuando está en complejo con el factor VIII al proteger el FVIII de los sitios de anticuerpos inhibidores potenciales conocidos en la cadena pesada (dominio A2) y la cadena ligera (dominio A3 / C2) (Ragni, J Thromb. Haemost. 10: 2324-2327, 2012) o en otros sitios potenciales inhibidores de anticuerpos en la molécula del factor VIII.

Otro trastorno hemorrágico en humanos es la enfermedad de von Willebrand (vWD). Dependiendo de la gravedad de los síntomas hemorrágicos, la vWD puede tratarse mediante terapia de reemplazo con concentrados que contengan el factor von Willebrand, en general derivado del plasma, aunque el factor von Willebrand recombinante también está en desarrollo. Se sabe que el factor von Willebrand estabiliza el factor VIII in vivo y, por lo tanto, juega un papel crucial para regular los niveles plasmáticos de factor VIII y, como consecuencia, es un factor central para controlar la hemostasia primaria y secundaria.

Hasta hoy, el tratamiento estándar de la hemofilia A y la vWD implica infusiones intravenosas frecuentes de preparaciones de concentrados de fctor VIII y factor VIII / factor von Willebrand. Estas terapias de reemplazo son generalmente efectivas, sin embargo, por ejemplo, en pacientes con hemofilia A severa que reciben tratamiento profiláctico, el factor VIII debe administrarse por vía intravenosa (i.v.) aproximadamente 3 veces por semana debido a la corta vida media plasmática del factor VIII de aproximadamente 12 horas. Al alcanzar niveles de factor VIII superiores al 1 % del plasma humano normal correspondiente a un aumento de los niveles de factor VIII en 0,01 U / ml, la hemofilia A grave se convierte en hemofilia A moderada. En la terapia profiláctica, el régimen de dosificación está 60 diseñado de tal manera que los niveles de la actividad del factor VIII no caen por debajo de los niveles del 2 - 3 % de la actividad del factor VIII de los no hemofílicos.

La administración de un factor VIII a través de la administración intravenosa (i.v.) es engorrosa, asociada con dolor y conlleva el riesgo de una infección, especialmente porque esto se hace principalmente en el tratamiento domiciliario por los propios pacientes o por los padres de los niños diagnosticados con hemofilia A. Además, las inyecciones intravenosas frecuentes provocan inevitablemente la formación de cicatrices, lo que interfiere con las infusiones futuras. Aún así, el tratamiento por vía intravenosa puede ser necesario en una situación de emergencia o cirugía, es decir, cuando se necesita un alto nivel de factor VIII de inmediato.

Se ha propuesto la administración subcutánea (a.s.) para el factor VIII, por ejemplo, en el documento WO 95/01804 A1 y el documento WO 95/026750 A1. Sin embargo, se tuvieron que administrar dosis muy altas de factor VIII para lograr una biodisponibilidad aceptable.

Otro enfoque para mejorar la biodisponibilidad tras la administración no intravenosa ha sido usar factor VIII fusionado con albúmina (documento WO 2011/020866 A2).

15 El documento WO 2013/057167 A1 propone administrar el factor VIII en combinación con glucosaminoglucanos sulfatados por administración no intravenosa, opcionalmente junto con el factor von Willebrand.

El documento WO 2008/151817 A1 describe el uso general de multímeros de factor von Willebrand sin escindir para la estabilización de factor VIII, derivado de plasma o recombinante (mutantes de supresión y longitud completa) 20 destinados al tratamiento extravascular.

El documento WO 2013/160005 A1 y el documento WO 2013/083858 A1 describen el uso general del factor von Willebrand recombinante o fragmentos de factor von Willebrand recombinante para mejorar la biodisponibilidad después del tratamiento de administración subcutánea para moléculas de factor VIII muy específicas, donde dichas moléculas de factor VIII comprenden un dominio B truncado con un tamaño de 100 - 400 aminoácidos. De acuerdo con el documento WO 2013/160005, las moléculas de factor VIII A1 con dominios B truncados entre 100 y 400 aminoácidos tienen una mayor biodisponibilidad de factor VIII en comparación con el factor VIII que tiene el dominio B completo o moléculas de factor VIII truncado del dominio B que no tienen o tienen solo unos pocos aminoácidos.

30 Todavía existe la necesidad de preparaciones de factor VIII que muestren una biodisponibilidad mejorada, estabilidad y / o menor riesgo de generación de anticuerpos, evitando así los inconvenientes de la técnica anterior.

Es el objeto de la presente invención proporcionar preparaciones alternativas de factor VIII. Preferentemente, estas preparaciones deberían mostrar una estabilidad mejorada, una biodisponibilidad mejorada y / o un riesgo reducido de reacciones inmunológicas.

En una realización, este objeto se logra mediante una composición que comprende un complejo de factor VIII y un péptido de factor von Willebrand, donde el péptido de factor von Willebrand consiste en los aminoácidos 764 a 2128 de la SEQ ID NO: 1.

De acuerdo con la presente invención, se proporciona una preparación de factor VIII que comprende un péptido de factor von Willebrand. El factor VIII forma un complejo con los péptidos del factor von Willebrand.

40

El factor VIII como se usa en el presente documento abarca el factor VIII de longitud completa, el factor VIII con dominio B eliminado o un factor VIII en el que el dominio B ha sido reemplazado por un enlazador artificial o un fragmento del dominio B natural o una combinación de ambos, es decir, el dominio B tiene un tamaño diferente en comparación con el factor VIII de longitud completa. También abarca el factor VIII con un número limitado de modificaciones que tienen inserción, supresión o sustituciones, especialmente el factor VIII adaptado a los haplotipos como se describe en K.R. Viel, y col. New England J Med 2009; 360:1618-1627. Preferentemente, la homología de secuencia con el factor VIII (como se define en los aminoácidos 20 - 2351 de P00451 de SwissProt, 21 de julio de 1986) pero sin tener en cuenta la homología en el dominio B del 99 % de acuerdo con FASTA como se implementa en la versión FASTA 36, basado en W. R. Pearson (1996) «Effective protein sequence comparison» Meth. Enzymol. 266:227-258. En otras palabras, al calcular una homología de secuencia, el dominio B no se incluye en la comparación de ambas proteínas. También se abarca el factor VIII modificado, como las proteínas de fusión Fc HES-Factor VIII o FEG Factor VIII o Factor VIII y las proteínas de fusión de albúmina de factor VIII como se describe en Oldenburg, Hemofilia (2014), 20 (Supl. 4), 23-28.

El factor VIII de la presente invención puede ser factor VIII derivado de plasma o recombinante. Cuando se usa el factor VIII recombinante, se expresa preferentemente en una línea celular humana para imitar el patrón de glicosilación 60 humana (Casademunt, Eur J Haematol. 2012; 89:165-76) o como se describe en el documento WO 2010/020690.

El péptido del factor von Willebrand, como se usa en el presente documento, es un péptido que consiste en los

aminoácidos 764 a 2128 de la SEQ ID NO: 1 en una cadena de aminoácidos simple. SEQ ID NO: 1 es la secuencia P04275 de la base de datos Swiss Prot a partir del 11 de enero de 2011.

Típicamente, una relación molecular de péptidos de factor VIII y factor von Willebrand estará entre 1:1 y 1:20, preferentemente 1:2 a 1:10. Si las moléculas peptídicas del factor von Willebrand están en forma de dímeros o multímeros, la relación molecular se calcula en una sola cadena de aminoácidos, es decir, un complejo de una molécula del factor VIII con un dímero de moléculas peptídicas del factor von Willebrand tendrá una relación de 1:2

Un complejo, como se usa en el presente documento, se refiere a una unión no covalente del factor VIII al péptido del 10 factor von Willebrand.

Una realización adicional de la invención es la composición que comprende el complejo del factor VIII con el péptido del factor von Willebrand, donde

- 15 el complejo del factor VIII y el péptido del factor von Willebrand muestra una unión reducida a las membranas de fosfolípidos en comparación con el factor VIII solo;
  - el complejo del factor VIII y el péptido del factor von Willebrand muestra una unión reducida al colágeno III en comparación con el complejo del factor VIII y el factor von Willebrand de longitud completa; y
- el complejo de factor VIII y el péptido de factor von Willebrand muestra una unión reducida a la heparina en 20 comparación con el complejo del factor VIII y el factor von Willebrand de longitud completa.

Como el factor von Willebrand a menudo forma oligómeros o multímeros, también los péptidos de la presente invención pueden estar en forma de multímeros u oligómeros.

- 25 El péptido de la presente invención tiene al menos una propiedad seleccionada del grupo que consiste en
  - (i) una constante de unión por afinidad para heparina de K<sub>D</sub> > 1 nM, preferentemente ≥ 2,43 nM;
  - (ii) una constante de unión por afinidad para el colágeno III de K<sub>D</sub> > 5 nM, preferentemente ≥ 17,02 nM;
  - (iii) una constante de unión por afinidad para el factor VIII de K₀< 100 NM o < 10 nM, preferentemente ≤ 6,19 nM; y
- (iv) una inhibición de la unión de unión a fosfolípidos de factor VIII de al menos el 70 %, preferentemente de al menos el 80 % o al menos el 90 %.
  - El péptido de factor von Willebrand de la invención muestra una unión reducida a la heparina, una menor afinidad por el colágeno (como el colágeno III), una menor afinidad por los fosfolípidos, aunque una alta unión al factor VIII.
  - Sorprendentemente, la baja unión a fosfolípidos y colágeno mejora la velocidad de liberación en caso de administración no intravenosa, especialmente subcutánea.

La medición de las constantes de unión de afinidad respectivas se describe en la parte experimental.

40

En una realización, el péptido de factor von Willebrand se deriva del factor von Willebrand por escisión proteolítica o química. Si se utiliza la escisión proteolítica, se prefiere especialmente la proteasa S. aureus V-8.

La composición de la presente invención tiene al menos una de las siguientes propiedades:

45

35

- (i) el péptido de factor von Willebrand protege el factor VIII de la unión del anticuerpo para minimizar la formación de inhibidores en un paciente;
- (ii) el factor VIII se estabiliza para proporcionar una actividad restante del factor VIII de al menos el 90 % después del almacenamiento durante 12 meses en forma líquida congelada a -70 °C;
- 50 (iii) el factor VIII se estabiliza para proporcionar una actividad restante del factor VIII de al menos el 90 % después del almacenamiento durante 24 meses en forma liofilizada a 5 °C;
  - (iv) el factor VIII se estabiliza para proporcionar una actividad restante del factor VIII de al menos el 90 % después del almacenamiento durante 12 meses en forma liofilizada a 25 °C:
  - (v) la vida media del factor VIII se prolonga in vivo en al menos un 20 %; y
- 55 (vi) la formación de inhibidores se reduce en pacientes no tratados previamente a menos del 20 %, preferentemente menos del 10 % después del tratamiento con la composición durante 6 meses.

Sorprendentemente, el péptido de factor von Willebrand parece aumentar la estabilidad del factor VIII durante el almacenamiento (vida útil) y / o reducir la formación de inhibidores en los pacientes. La formación de inhibidores es uno 60 de los principales problemas en el tratamiento de los trastornos hemorrágicos crónicos.

La composición de la presente invención es especialmente útil en el tratamiento o prevención de un trastorno

#### hemorrágico.

Por lo tanto, una realización adicional de la invención es la composición para su uso en un procedimiento para tratar un trastorno hemorrágico, comprendiendo dicho procedimiento administrar a un paciente que lo necesite una cantidad 5 efectiva de la composición de la presente invención.

La cantidad depende de la enfermedad o afección a tratar y puede ser seleccionada por un experto en la materia. Para el tratamiento a largo plazo, típicamente son adecuadas cantidades de 20 a 40 UI / kg de peso corporal por aplicación. En una situación de emergencia, la cantidad puede ser de aproximadamente 10 a 50 UI / kg de peso corporal.

La composición de la invención puede aplicarse mediante administración intravenosa o administración no intravenosa. La administración no intravenosa puede ser una inyección subcutánea, una inyección intradérmica o una administración intramuscular.

15 Una ventaja del procedimiento de la presente invención es la posibilidad de usar nano filtración para la eliminación de virus. El factor von Willebrand, debido a su tamaño, no se puede nanofiltrar con un nanofiltro con un tamaño de poro pequeño para eliminar los virus. Debido a que el péptido de factor von Willebrand es mucho más pequeño en tamaño que la molécula de factor von Willebrand de longitud completa, se hace posible la nanofiltración con tamaños de poro pequeños. La nanofiltración se realiza a un tamaño de poro y condiciones que reducen la concentración de uno de los virus parvovirus porcinos más pequeños conocidos en un factor de al menos 100 (2 log), preferentemente en un factor de 1000 (3 log) y lo más preferentemente a una concentración por debajo del límite de detección del ensayo de parvovirus, opcionalmente usando uno o más nanofiltros en serie. Para esta prueba, se agrega parvovirus porcino en una muestra y se analiza después de la filtración. •

#### 25 Breve descripción de los dibujos

45

50

La figura 1 muestra la purificación del fragmento III (SPIII) de pdVWF digerido por la proteasa *S.aureus* V8. A-Cromatograma MonoQ del perfil de elución del fragmento III (indicado por una flecha). B- Gel de SDS-PAGE del fragmento purificado; red.- reducido; n.r.- no reducido.

La figura 2 muestra la purificación del fragmento I (III-T4) del fragmento III digerido por tripsina. Cromatograma MonoQ del perfil de elución del fragmento I (indicado por una flecha). La imagen SDS-PAGE no reductora del fragmento purificado se muestra en el inserto.

35 La figura 3 muestra la purificación del fragmento II a partir del fragmento III después de la segunda digestión con proteasa S.aureus V8. A- Cromatograma MonoQ del perfil de elución del fragmento II (indicado por una flecha), el segundo producto de escisión así como la proteasa V8 también están indicados. B- Cromatograma de la segunda cromatografía MonoQ requerida para la eliminación completa de la proteasa. La imagen SDS-PAGE reductora del fragmento purificado se muestra en el inserto.

La figura 4 muestra la unión de pdVWF, fragmento II y III a rFVIII. Sensogramas de unión A, B, C (curvas grises) y alineación de curvas (curvas negras) representativas de la interacción entre rFVIII inmovilizado y pdVWF / fragmentos purificados II y III. Las concentraciones y el tipo de muestra se indican en el diagrama. C- Constantes de disociación  $(K_d)$  expresadas como media y SEM; n = 8.

La figura 5 muestra la unión de rFVIII a monocapa de fosfolípidos en SPR e inhibición por pdVWF. Sensogramas de unión a A de rFVIII y rFVIII en presencia de 108 nM de BSA (albúmina de suero bovino) o 47,6 nM de pdVWF; cada muestra por triplicado. B- Media y SD de los niveles de unión medidos 120 segundos después del final de la inyección de analito expresado como porcentaje de unión de rFVIII; n = 3.

La figura 6 muestra la inhibición de la interacción rFVIII-fosfolípido por fragmentos derivados del factor von Willebrand medidos en SPR. La unión de rFVIII a la monocapa de fosfolípidos se realizó en presencia de tres concentraciones diferentes de los tres fragmentos derivados del factor von Willebrand (las concentraciones y el tipo de fragmento se indican en el gráfico). El gráfico representa la media y SD de los niveles de unión medidos 120 segundos después del 55 final de la inyección de analito expresado como porcentaje de unión de rFVIII; n = 3.

La figura 7 muestra la inhibición dependiente de la concentración de la unión de rFVIII a la monocapa de fosfolípidos por el fragmento III. A- sensogramas de unión de rFVIII a monocapa de fosfolípidos en presencia de diferentes concentraciones del fragmento III (las concentraciones se indican en el gráfico), cada muestra por triplicado. B- Media 9 y SD de los niveles de unión medidos 120 segundos después del final de la inyección de analito expresado como porcentaje de unión de rFVIII; n = 3.

La figura 8 muestra la unión de pdVWF y el fragmento III al colágeno tipo III. Sensogramas de unión A, B (curvas grises) y alineación de curvas (curvas negras) representativas de la interacción entre colágeno inmovilizado tipo III y pdVWF / fragmento purificado III. Las concentraciones y el tipo de muestra se indican en el diagrama. C- Constantes de disociación (K<sub>d</sub>) expresadas como media y SEM; n = 9.

5

La figura 9 muestra la unión de pdVWF y el fragmento III a la heparina. Sensogramas de unión A, B (curvas grises) y alineación de curvas (curvas negras) representativas de la interacción entre heparina inmovilizada y pdVWF / fragmento purificado III. Las concentraciones y el tipo de muestra se indican en el diagrama. C- Constantes de disociación ( $K_d$ ) expresadas como media y SEM; n = 6.

10

La figura 10 muestra una comparación de los valores del tiempo de coagulación de la sangre total (WBCT) medidos en muestras de sangre de perros con hemofilia A tratados por s.c. con FVIII solo o en combinación con el fragmento III de VWF. El WBCT obtenido después de la aplicación s.c. de FVIII en combinación con un exceso molar de cinco veces el fragmento III de VWF aplicado a 200 UI de FVIII / kg de peso corporal. La línea discontinua horizontal marca el límite superior del tiempo de coagulación en perros normales (12 minutos).

La Figura 11 muestra la actividad de FVIII medida con el ensayo de actividad de FVIII cromogénico en muestras de plasma de perros con hemofilia A obtenidas después de la aplicación de FVIII o FVIII en combinación con el fragmento III de VWF. A-FVIII o FVIII con un exceso molar de cinco veces el fragmento III de VWF se aplicó por vía subcutánea a 20 UI de FVIII / kg de peso corporal; el área bajo la curva (AUC) para la muestra de FVIII sola fue 2.867, y para FVIII en combinación con el fragmento III de VWF de 4.917. B-FVIII o FVIII con un exceso molar de cinco veces el fragmento III de VWF se aplicó por vía intravenosa a 200 UI de FVIII / kg de peso corporal. El AUC para la muestra de FVIII solo

25 La figura 12 muestra la unión del monómero del fragmento III recombinante, el dímero del fragmento III recombinante y el VWF derivado de plasma (fIVWF) a rFVIII. Sensogramas de unión A, B, C (curvas grises) y alineación de curvas (curvas negras) representativas de la interacción entre VWF inmovilizado o fragmentos de VWF recombinantes y FVIII. El tipo de muestra se indican en el diagrama. La concentración de FVIII aplicada fue 0, 0,2, 0,6, 1,7, 5, 15, 45 y 135 nM. D- Constantes de disociación (K<sub>d</sub>) expresadas como media y SD; n = 4.

30

La figura 13 muestra la estabilización de FVIII por el fragmento III de VWF. Actividad de FVIII o FVIII solo o FVIII en complejo con el fragmento III de VWF incubado a 40 °C medida en diferentes momentos.

La figura 14 muestra la unión de heparina usando cromatografía de afinidad de heparina de dos fragmentos de VWF 35 como se describe en el ejemplo 9.

#### **EJEMPLOS**

La invención se explica adicionalmente mediante los siguientes ejemplos no limitantes.

fue 27,69, y para FVIII en combinación con el fragmento III de VWF de 45,72.

40

#### Ejemplo 1

Producción y purificación de fragmentos derivados del factor plasmático de von Willebrand.

45 <u>Producción y purificación del fragmento III (SPIII, res. 764-2128)</u>(de acuerdo con Marti y col. Identificación de subestructuras con puentes disulfuro dentro del factor von Willebrand humano. Biochemistry 1987; 26:8099-8109 con modificaciones) (SEQ ID NO: 2):

SLSCRPPMVKLVCPADNLRAEGLECTKTCQNYDLECMSMGCVSGCLCPPGMVRHENRCVA

50

LERCPCFHQGKEYAPGETVKIGCNTCVCQDRKWNCTDHVCDATCSTIGMAHYLTFDGLKY LFPGECOYVLVODYCGSNPGTFRILVGNKGCSHPSVKCKKRVTILVEGGEIELFDGEVNV KRPMKDETHFEVVESGRYIILLLGKALSVVWDRHLSISVVLKQTYQEKVCGLCGNFDGIQ NNDLTSSNLQVEEDPVDFGNSWKVSSQCADTRKVPLDSSPATCHNNIMKQTMVDSSCRIL TSDVFQDCNKLVDPEPYLDVCIYDTCSCESIGDCACFCDTIAAYAHVCAQHGKVVTWRTA TLCPQSCEERNLRENGYECEWRYNSCAPACQVTCQHPEPLACPVQCVEGCHAHCPPGKIL DELLOTCVDPEDCPVCEVAGRRFASGKKVTLNPSDPEHCOICHCDVVNLTCEACOEPGGL VVPPTDAPVSPTTLYVEDISEPPLHDFYCSRLLDLVFLLDGSSRLSEAEFEVLKAFVVDM MERLRISOKWVRVAVVEYHDGSHAYIGLKDRKRPSELRRIASOVKYAGSOVASTSEVLKY TLFQIFSKIDRPEASRITLLLMASQEPQRMSRNFVRYVQGLKKKKVIVIPVGIGPHANLK QIRLIEKQAPENKAFVLSSVDELEQQRDEIVSYLCDLAPEAPPPTLPPDMAQVTVGPGLL GVSTLGPKRNSMVLDVAFVLEGSDKIGEADFNRSKEFMEEVIQRMDVGQDSIHVTVLQYS YMVTVEYPFSEAQSKGDILQRVREIRYQGGNRTNTGLALRYLSDHSFLVSQGDREQAPNL VYMVTGNPASDEIKRLPGDIQVVPIGVGPNANVQELERIGWPNAPILIQDFETLPREAPD LVLQRCCSGEGLQIPTLSPAPDCSQPLDVILLLDGSSSFPASYFDEMKSFAKAFISKANI GPRLTOVSVLOYGSITTIDVPWNVVPEKAHLLSLVDVMOREGGPS0IGDALGFAVRYLTS EMHGARPGASKAVVILVTDVSVDSVDAAADAARSNRVTVFPIGIGDRYDAAQLRILAGPA GDSNVVKLQRIEDLPTMVTLGNSFLHKLCSGFVRICMDEDGNEKRPGDVWTLPDQCHTVT CQPDGQTLLKSHRVNCDRGLRPSCPNSQSPVKVEETCGCRWTCPCVCTGSSTRHIVTFDG QNFKLTGSCSYVLFQNKEQDLEVILHNGACSPGARQGCMKSIEVKHSALSVELHSDMEVT VNGRLVSVPYVGGNMEVNVYGAIMHEVRFNHLGHIFTFTPQNNEFQLQLSPKTFASKTYG LCGICDENGANDFMLRDGTVTTDWKTLVQEWTVQRPGQTCQPILE

El fragmento III se prepara por digestión del factor von Willebrand derivado de plasma (pdVWF) con proteasa *S. aureus* V-8. La digestión se lleva a cabo durante 3 horas a 37 °C en un tampón de 50 nM Tris-HCl, 150 mM de NaCl, pH 5 7,8 a una relación en peso de enzima a proteína de 1:40.

La purificación del fragmento se lleva a cabo utilizando una fuerte columna de intercambio aniónico (MonoQ). El tampón de funcionamiento es un Tris-HCl de 20 mM, pH 7,4, y el tampón de elución (tampón B) es Tris-HCl de 20 mM, NaCl de 500 mM, pH 7,4. La proteasa *S. aureus* V-8 eluye de la columna de intercambio aniónico en aproximadamente 22 mS / cm (aproximadamente el 40 % de tampón B), por lo tanto, se requiere una larga etapa de lavado al 42 % antes de la elución del fragmento para lavar la proteasa. Alternativamente, se puede realizar una etapa SEC en Superose 6 10/300 GL para la eliminación de la proteasa. La purificación del fragmento III y el producto obtenido se representan en la figura 1. La secuencia definida por Marti *y col.* 1987 ha sido confirmada por análisis de EM.

15 Producción y purificación del fragmento I (III-T4, res. 764-1035) (de acuerdo con Marti y col. 1987 con modificaciones) (SEQ ID NO: 3):

SLSCRPPMVKLVCPADNLRAEGLECTKTCQNYDLECMSMGCVSGCLCPPGMVRHENRCVA LERCPCFHQGKEYAPGETVKIGCNTCVCQDRKWNCTDHVCDATCSTIGMAHYLTFDGLKY LFPGECQYVLVQDYCGSNPGTFRILVGNKGCSHPSVKCKKRVTILVEGGEIELFDGEVNV KRPMKDETHFEVVESGRYIILLLGKALSVVWDRHLSISVVLKQTYQEKVCGLCGNFDGIQ NNDLTSSNLQVEEDPVDFGNSWKVSSQCADTR

20 El fragmento I se prepara a partir del fragmento III (SPIII) mediante digestión con tripsina (TPCK tratada de bovino). La digestión se lleva a cabo durante 1,5 horas en un tampón de 100 mM de NH<sub>4</sub>HCO<sub>3</sub> con pH 8,0 a una relación en peso

de enzima a proteína de 1:100. La digestión se terminó mediante la adición de inhibidor de tripsina de soja.

La purificación del fragmento I se lleva a cabo utilizando una fuerte columna de intercambio aniónico (MonoQ) seguido de SEC en Superose 6, 10 / 300 GL. El tampón de funcionamiento para la columna de intercambio aniónico es Tris-HCl de 20 mM, pH 7,4, y el tampón de elución (tampón B) es Tris-HCl de 20 mM, NaCl de 500 mM, pH 7,4. El tampón de funcionamiento para el SEC es PBS (solución salina tamponada con fosfato) pH 7,0.

La purificación del fragmento I y el producto obtenido se representan en la figura 2. La secuencia definida por Marti *y col.* 1987 ha sido confirmada por análisis de EM.

Producción y purificación del fragmento II (res. 764-1673) (SEQ ID NO: 4):

SLSCRPPMVKLVCPADNLRAEGLECTKTCONYDLECMSMGCVSGCLCPPGMVRHENRCVA LERCPCFHQGKEYAPGETVKIGCNTCVCQDRKWNCTDHVCDATCSTIGMAHYLTFDGLKY LFPGECQYVLVQDYCGSNPGTFRILVGNKGCSHPSVKCKKRVTILVEGGEIELFDGEVNV KRPMKDETHFEVVESGRYIILLLGKALSVVWDRHLSISVVLKQTYQEKVCGLCGNFDGIQ NNDLTSSNLOVEEDPVDFGNSWKVSSOCADTRKVPLDSSPATCHNNIMKOTMVDSSCRIL TSDVFQDCNKLVDPEPYLDVCIYDTCSCESIGDCACFCDTIAAYAHVCAQHGKVVTWRTA TLCPQSCEERNLRENGYECEWRYNSCAPACQVTCQHPEPLACPVQCVEGCHAHCPPGKIL DELLQTCVDPEDCPVCEVAGRRFASGKKVTLNPSDPEHCQICHCDVVNLTCEACQEPGGL VVPPTDAPVSPTTLYVEDISEPPLHDFYCSRLLDLVFLLDGSSRLSEAEFEVLKAFVVDM MERLRISOKWVRVAVVEYHDGSHAYIGLKDRKRPSELRRIASOVKYAGSOVASTSEVLKY TLFQIFSKIDRPEASRITLLLMASQEPQRMSRNFVRYVQGLKKKKVIVIPVGIGPHANLK QIRLIEKQAPENKAFVLSSVDELEQQRDEIVSYLCDLAPEAPPPTLPPDMAQVTVGPGLL GVSTLGPKRNSMVLDVAFVLEGSDKIGEADFNRSKEFMEEVIORMDVGODSIHVTVLQYS YMVTVEYPFSEAQSKGDILQRVREIRYQGGNRTNTGLALRYLSDHSFLVSQGDREQAPNL VYMVTGNPASDEIKRLPGDIQVVPIGVGPNANVQELERIGWPNAPILIQDFETLPREAPD LVLQRCCSGE

15 El fragmento II se prepara a partir del fragmento III mediante la segunda digestión con proteasa de *S. aureus* V8. La digestión se lleva a cabo durante 21 horas en un tampón de 50 mM de Tris-HCl, 150 mM de NaCl con pH 7,8 a una relación en peso de enzima a proteína de 1:10.

La purificación del fragmento II se lleva a cabo utilizando una fuerte columna de intercambio aniónico (MonoQ). El tampón de funcionamiento es un Tris-HCl de 20 mM, pH 7,4, y el tampón de elución (tampón B) es Tris-HCl de 20 mM, NaCl de 500 mM, pH 7,4. Se requirió una segunda purificación MonoQ con una larga etapa de lavado al 42 % de B para eliminar la proteasa.

La purificación del fragmento II y el producto obtenido se representan en la figura 3. El segundo sitio de escisión de V8 entre Glu<sup>1673</sup>-Gli<sup>1674</sup> fue determinado por Fretto *y col.* 1986 y fue confirmado por análisis de EM.

#### Ejemplo 2

10

Determinación de la afinidad de unión al factor VIII.

El análisis se llevó a cabo utilizando el instrumento Biacore 2000 (GE Healthcare) de acuerdo con McCormick *y col.* 2004 con modificaciones. rFVIII se acopló brevemente de manera covalente al chip sensor CM5 dando como resultado un nivel de recubrimiento de ~ 200 RU. Posteriormente, se inyectaron los fragmentos del factor von Willebrand, así como el factor von Willebrand (flvWF) de longitud completa sobre la superficie del chip sensor. El tampón de funcionamiento fue 20 mM de HEPES, 150 mM de NaCl, 5 mM de CaCl2, Tween 20 al 0,02 %. Las constantes de afinidad de disociación se determinaron para flvWF así como para los fragmentos II y III, no hubo unión significativa del fragmento I al Factor VIII, por lo tanto, no se determinó el K<sub>d</sub>. Los sensogramas de unión y los valores calculados de K<sub>d</sub> se representan en la figura 4. El flvWF se unió a rFVIII con K<sub>d</sub> de 0,67 nM, el fragmento III se unió con menor afinidad (K<sub>d</sub> de 6,18 nM), la afinidad se redujo aún más para el fragmento II (KD de 154,60 nM)

#### Ejemplo 3

Determinación de la unión del factor VIII a la monocapa fosfolípida e inhibición por el factor von Willebrand y los 5 fragmentos derivados del factor von Willebrand.

El análisis se llevó a cabo utilizando el instrumento Biacore 2000 (GE Healthcare) de acuerdo con Saenko *y col.* 1999 con modificaciones. Se prepararon brevemente vesículas de fosfolípidos a partir de DOPC (1,2-dioleoil-sn-glicerol-3-fosfocolina) y DOPS (1,2-dioleoil-sn-glicerol-3-fosfo-L-serina). Se prepararon vesículas unilamelares de acuerdo con MacDonal *y col.* 1991 utilizando una extrusora y recubiertas con un chip sensor HPA. Posteriormente, se inyectaron los componentes de interés sobre la superficie de PCPS y se evaluó el nivel de unión 120 segundos después del final de la inyección.

Controles negativos; el factor von Willebrand y BSA no se unieron a la superficie de PSPC (no se muestra), en cambio, 15 se mostró un alto nivel de unión de rFVIII. Esta unión podría inhibirse por completo con el factor von Willebrand, en cambio, la adición de alta concentración de BSA no tuvo efecto sobre la unión (figura 5).

Para evaluar si los fragmentos obtenidos por digestión limitada fueron capaces de inhibir la unión de PSPC similar a flVWF, los fragmentos I, II y III se inyectaron sobre la superficie del chip sensor. Solo el fragmento III fue capaz de inhibir la interacción entre rFVIII y la monocapa de fosfolípidos (figura 6). Este efecto dependía de la dosis con una inhibición casi completa con un exceso de 2,5 veces el fragmento III sobre el rFVIII (figura 7).

#### Ejemplo 4

25 Determinación de la afinidad de unión al colágeno III de flVWF y el fragmento III.

El análisis se llevó a cabo utilizando el instrumento Biacore 2000 (GE Healthcare) de acuerdo con Romjin y col. 2003 con modificaciones. El colágeno tipo III digerido con pepsina humana se unió brevemente de manera covalente a la superficie de un chip sensor CM5. Posteriormente, las muestras se inyectaron sobre la superficie del chip sensor. El tampón de funcionamiento fue 10 mM de HEPES, 150 mM de NaCl, 3,4 mM de EDTA, Tween 20 al 0,005 %. El flVWF se unió al colágeno III con una afinidad muy alta (0,75 nM), la unión del fragmento III se redujo significativamente a 17,02 nM (figura 8).

#### Ejemplo 5

35

Determinación de la afinidad de unión a la heparina de fIVWF y el fragmento III.

El análisis se llevó a cabo utilizando el instrumento Biacore T200 (GE Healthcare) de acuerdo con Sarafanov *y col.* 2001. La heparina de la mucosa intestinal porcina se biotiniló brevemente utilizando un kit de reactivo NHS-biotina, y 40 se unió a la superficie de un chip sensor SA. La celda de flujo de referencia se revistió con biotina. Posteriormente, las muestras se inyectaron sobre la superficie del chip sensor. El tampón de funcionamiento fue 150 mM de HEPES, 150 mM de NaCl, 5 mM de CaCl2, Tween 20 al 0,05 %. El flVWF se unió a la heparina con una afinidad de 0,65 nM, la afinidad de unión del fragmento III se redujo significativamente a 2,43 nM (figura 9).

#### 45 Ejemplo 6

Determinación de la recuperación del complejo FVIII o FVIII / VWF fragmento III y la vida media en circulación en perros con hemofilia A.

50 Dos perros con hemofilia A fueron sometidos a inyección subcutánea y posteriormente intravenosa de FVIII suprimido con dominio B recombinante solo o en combinación con un exceso molar de cinco veces el fragmento III de VWF. El perro 1 recibió 200 UI / kg de peso corporal de FVIII solo y el perro 2 recibió 200 UI / kg de peso corporal de FVIII en complejo con el fragmento III de VWF. Se recogieron muestras de sangre a las 0,5, 1,2, 4, 8, 12, 24, 32, 48, 72 y 96 horas después de cada administración farmacológica por vía subcutánea o intravenosa. Las muestras fueron analizadas para determinar el tiempo de coagulación de la sangre total (WBCT) y la actividad en el ensayo de actividad cromogénica de FVIII. La administración subcutánea del fragmento III de VWF en complejo con FVIII dio como resultado un aumento de 1,4 veces el tiempo requerido para exceder el tiempo de coagulación para un perro normal en comparación con la administración subcutánea de FVIII solo (figura 10). La administración del fragmento III de VWF con FVIII también dio como resultado un aumento de la actividad de FVIII en plasma de perro con el tiempo y valores en el área casi duplicada bajo la curva (AUC) para ambas aplicaciones, subcutánea e intravenosa, en comparación con la administración de FVIII solo (figura 11).

#### Ejemplo 7

Determinación de la afinidad de unión a FVIII del monómero y dímero del fragmento III recombinante.

5 El fragmento III recombinante se expresó de forma transitoria en la línea celular HEK293 con un Strep-Tag C-terminal y se purificó por cromatografía de afinidad con Strep-tactin. Los monómeros y dímeros del fragmento III se separaron por cromatografía de exclusión por tamaño (SEC). El análisis se realizó con el instrumento Biacore 2000. Los monómeros y dímeros del fragmento III se inmovilizaron en CM5 y se inyectaron series de concentración de FVIII sobre la superficie del chip sensor. Se usó VWF de longitud completa derivada de plasma como control. El tampón de funcionamiento fue 150 mM de HEPES, 150 mM de NaCl, 5 mM de CaCl<sub>2</sub>, Tween 20 al 0,05 %. FVIII unido al dímero de fragmento III con una constante de afinidad de 1,9 nM. La afinidad del FVIII con el fragmento III monomérico fue significativamente menor (K<sub>d</sub> = 14,3 nM) (figura 12).

#### Ejemplo 8

15

Estabilización de rFVIII en solución por el fragmento III de VWF.

2000 UI de FVIII recombinante (Nuwiq®) se reconstituyeron en 2,5 ml de agua, con o sin adición de exceso molar de cinco veces el fragmento III de VWF. Ambas preparaciones se incubaron a 40 °C y se tomaron alícuotas a las 48, 96, 192, 384, 408 y 672 horas. Las muestras se analizaron para determinar la actividad de FVIII en un ensayo de actividad cromogénica de FVIII. El fragmento III de VWF contribuyó a una actividad significativamente más larga de FVIII a 40 °C (figura 13).

#### Ejemplo 9

25

Comparación de la unión de heparina entre el fragmento III recombinante y el fragmento NovoSeq21.

El fragmento III recombinante y el fragmento de NovoSeq21 (SEQ ID NO: 21 del documento WO2013/160005A1) se expresaron de forma transitoria en la línea celular HEK293 con un Strep-Tag C-terminal y se purificaron por cromatografía de afinidad con Strep-tactin. La unión a heparina se probó usando cromatografía de afinidad por la heparina. Ambos fragmentos recombinantes se unieron a la columna de heparina (heparina HiTrap HP 1 ml, GE Healthcare) y se eluyeron con un gradiente lineal de sal que varía de 0 - 500 mM de NaCl. Ambos fragmentos se ejecutaron por triplicado, véase la figura 14. El pico de elución medio para el fragmento NovoSeq21 fue a 15,57 ± 0,04 minutos, lo que corresponde a 285,381 mM de NaCl, y para el fragmento III a 15,47 ± 0,02 minutos, lo que corresponde 35 a 282,051 mM de NaCl. Esto indica una mayor afinidad por la heparina del fragmento NovoSeq21.

#### Procedimientos analíticos

Descripción de los procedimientos analíticos

40

FVIII: C, procedimiento de detección basado en Coatest

El procedimiento se basa en el principio de dos etapas y se realizó utilizando la técnica de microplacas. En la etapa uno, el factor X activado (Xa) se genera a través de la vía intrínseca donde FVIII: C actúa como un cofactor. En la etapa dos, el factor Xa se determina luego mediante el uso de un sustrato cromogénico sintético, S-2222 en presencia de un inhibidor de trombina 1-2581 para evitar la hidrólisis del sustrato por la trombina. La reacción se detiene con ácido, y el VIII: La actividad de C, que es proporcional a la liberación de pNA (para-nitroanilina), se determina fotométricamente a 405 nm frente a un blanco reactivo.

50 El procedimiento cumple con los requisitos de la Farmacopea Europea. La unidad de FVIII: C se expresa en unidades internacionales (UI) como se define en la Norma Internacional de Concentrado actual (SI) establecida por la Organización Mundial de la Salud (OMS). La rutina que usa tampón que contiene BSA al 1 % en lugar de plasma hemofílico severo para prediluciones ha sido validada. Véanse también referencias bibliográficas (European Pharmacopoeia Supplement 2000, general Methods, 2.7.4. Assay of Blood Coagulation FVIII; Rosen S (1984) Assay of FVIII: C with a Chromogenic Substrate. J, Haematol, Suppl 40, vol 33, 139-145, 1984; Carlebjork G, Oswaldsson U, Rosen S (1987) A simple and accurate micro plate assay for the determination of FVIII activity. Thrombosis Research 47; 5-14, 1987; Mire-Sluis AR, Gerrard T, Gaines das R, Padilla A and Thorpe R. Biological assays: Their Role in the

development and quality Control of Recombinant Biological Medicinal Products. Biological, 24, 351-362 (1996)).

60 Determinación de la proteína total de acuerdo con Bradford

La determinación de proteínas de acuerdo con Bradford se basa en la observación de que la absorbancia máxima para

una solución ácida de azul brillante de Coomassie G-250 cambia de 465 nm a 595 nm cuando se produce la unión a la proteína. Ambas interacciones hidrofóbicas e iónicas estabilizan la forma aniónica del tinte, causando un cambio de color visible. El ensayo es útil ya que el coeficiente de extinción de una solución de complejo colorante-albúmina es constante en un rango de concentración de 10 veces. Véase también la referencia Bradford, MM. A rapid and sensitive method for the quantisation of microgram quantities of protein utilizing the principle of protein-dye binding. Analytical Biochemistry 72: 248-254. 1976, para más información.

Determinación de la proteína total de acuerdo con el análisis de aminoácidos (AAA)

10 Antes del AAA, todas las proteínas se hidrolizan con 6 M de HCl durante 24 horas a 110 °C. Los aminoácidos se separan por cromatografía de intercambio catiónico en resinas de poliestireno sulfonadas y se detectan continuamente en el eluyente. La detección se basa en la derivatización de ninhidrina posterior a la columna utilizando un fotómetro dual para la medición simultánea a 440 nm para prolina e hidroxiprolina y 570 nm para todos los demás aminoácidos. Los aminoácidos asparagina y glutamina se desamidan durante AAA y se determinan como ácido aspártico y ácido glutámico, respectivamente. Por lo tanto, los resultados de ácido aspártico y ácido glutámico representan la suma de ácido aspártico / asparagina (Asx) y ácido glutámico / glutamina (Glx), respectivamente, en la muestra original. El triptófano no genera una respuesta distinta utilizando este procedimiento y, por lo tanto, no está cuantificado por el AAA. La cisteína se destruye durante la hidrólisis y no se cuantifica. El AAA se describe además en la referencia: Total protein AAA analytical method. Spackman, D. H., Stein, W. H., y Moore, S. (1958) Anal. Biochem. 30: 1190-1206.

Pureza o actividad específica (FVIII: C / proteína total)

La pureza (o también llamada actividad específica) para una muestra, se calcula tomando el valor obtenido del análisis FVIII: análisis de C y su división por el valor logrado del análisis de proteína total.

SDS-PAGE (distribución de peso molecular)

25

45

50

60

La electroforesis en gel de SDS-poliacrilamida (SDS-PAGE) implica la separación de proteínas en función de su tamaño. Este procedimiento describe la SDS-PAGE de proteínas, que se ejecuta en condiciones reducidas. Al calentar 30 la muestra en condiciones desnaturalizantes y reductoras, las proteínas se despliegan y se recubren con sulfato dodecil sódico de detergente aniónico (SDS), adquiriendo una carga negativa neta alta que es proporcional a la longitud de la cadena de polipéptidos. Cuando se cargan en una matriz de gel de poliacrilamida y se colocan en un campo eléctrico, las moléculas de proteína cargadas negativamente migran hacia el electrodo cargado positivamente y se separan por un efecto de tamizado molecular, es decir, por su peso molecular. Los geles de poliacrilamida impiden que las moléculas más grandes migren tan rápido como las moléculas más pequeñas. Debido a que la relación carga / masa es casi la misma entre los polipéptidos desnaturalizados con SDS, la separación final de proteínas depende casi por completo de las diferencias en la masa molecular relativa de los polipéptidos. En un gel de densidad uniforme, la distancia de migración relativa de una proteína (Rt) es negativamente proporcional al logaritmo de su masa. Si las proteínas de masa conocida se ejecutan simultáneamente con las incógnitas, se puede trazar la relación entre Rf y la masa, y estimar las masas de proteínas desconocidas. Las bandas de proteínas separadas por electroforesis se visualizan mediante tinción con plata. La evaluación se realiza visualmente juzgando las apariencias de los estándares, la referencia (muestra de control) y las muestras analizadas.

Contenido de antígeno del factor VIII (FVIII:Ag)

La cantidad de contenido de antígeno de factor VIII (FVIII: Ag) se mide con un kit ELISA (ASSERACHROM® VIII: Ag, inmunoensayo enzimático para factor VIII, kit, Diagnostica Stago (Francia), como se describe más detalladamente<sup>(18)</sup> con el reemplazo del tampón del kit proporcionado con tampón Tris-NaCl + 1 % de albúmina de suero bovino para diluciones de muestra.

Cromatografía de exclusión por tamaño (SEC)

El monómero, el agregado y el fragmento se miden usando una columna analítica de cromatografía de exclusión por tamaño (SEC-HPLC) (Superdex 200, 10/300 GL, GE Healthcare) procesada en condiciones de tampón nativo (HEPES 55 25 mM, NaCl 0,5 M, arginina 0,3 M, CaCl2 50 mM, polisorbato 80 al 0,02 %, pH 7,5). La carga de muestra es aproximadamente el 1 % de la columna de exclusión por tamaño y la concentración de factor VIII: C es aproximadamente 1000 UI / ml.

Inmunotransferencia frente al factor VIII

El producto de degeneración del factor VIII basado en el tamaño se mide mediante inmunotransferencia FVIII. Las proteínas y péptidos de distribución de masa molecular de FVIII en preparaciones de factor VIII se separan de acuerdo

con la masa molecular mediante electroforesis en gel (PAGE) de poliacrilamida de sulfato dodecil sódico (SDS) en condiciones reductoras. Posteriormente, las proteínas se transfieren electroforéticamente desde la matriz de gel a una membrana de nitrocelulosa que posteriormente se incuba con un agente bloqueante. A continuación, se añaden anticuerpos ovinos policionales disponibles comercialmente dirigidos a la molécula del factor VIII humano completo seguido de un anticuerpo secundario marcado con enzima como sonda. Como tercera etapa, se agrega un sustrato quimioluminiscente y cuando se combina con la enzima, la luz se produce como un subproducto. La salida de luz se captura como una imagen en tiempo real usando una cámara enfriada con dispositivo de carga acoplada. La intensidad de la señal se correlaciona con la abundancia del antígeno (FVIII) en la membrana de transferencia.

#### 10 PAGE 2D

Se realizó una electroforesis en 2D con tinción con plata para estudiar el patrón de banda electroforética de la cadena de proteína del factor VIII. El enfoque isoeléctrico se realizó como el primer recorrido de dimensión usando un gradiente de pH lineal de pH 3 a 10. La SDS-PAGE de segunda dimensión se ejecutó usando geles de acetato de tris 15 (3 - 8 %). Los geles se tiñeron con colorante plateado después del recorrido de la segunda dimensión.

Proteína total (Bradford)

La determinación de proteínas de acuerdo con Bradford se basa en la observación de que la absorbancia máxima para una solución ácida de azul brillante de Coomassie G-250 cambia de 465 nm a 595 nm cuando se produce la unión a la proteína. Ambas interacciones hidrofóbicas e iónicas estabilizan la forma aniónica del tinte, causando un cambio de color visible. El ensayo es útil ya que el coeficiente de extinción de una solución de complejo colorante-albúmina es constante en un rango de concentración de 10 veces. Véase también la referencia Bradford, MM. A rapid and sensitive method for the quantisation of microgram quantities of protein utilizing the principle of protein-dye binding. Analytical Biochemistry 72: 248-254. 1976, para más información.

#### LISTADO DE SECUENCIAS

<110> Octapharma AG

30

<120> Preparación que comprende péptidos de factor VIII y factor von Willebrand

<130> 151432WO

35 <160> 7

<170> PatentIn versión 3.5

<210> 1

40 <211> 2813

<212> PRT

<213> Homo sapiens

<400> 1

Met 1	Ile	Pro	Ala	Arg 5	Phe	Ala	Gly	Val	Leu 10	Leu	Ala	Leu	Ala	Leu 15	Ile
Leu	Pro	Gly	Thr 20	Leu	Cys	Ala	Glu	Gly 25	Thr	Arg	Gly	Arg	Ser 30	Ser	Thr
Ala	Arg	Cys 35	Ser	Leu	Phe	Gly	Ser 40	Asp	Phe	Val	Asn	Thr 45	Phe	Asp	Gly
Ser	Met 50	Tyr	Ser	Phe	Ala	Gly 55	Tyr	Cys	Ser	Tyr	Leu 60	Leu	Ala	Gly	Gly
Cys 65	Gln	Lys	Arg	Ser	Phe 70	Ser	Ile	Ile	Gly	Asp 75	Phe	Gln	Asn	Gly	Lys 80
Arg	Val	Ser	Leu	Ser 85	Val	Tyr	Leu	Gly	Glu 90	Phe	Phe	Asp	Ile	His 95	Leu
Phe	Val	Asn	Gly 100	Thr	Val	Thr	Gln	Gly 105	Asp	Gln	Arg	Val	Ser 110	Met	Pro
Tyr	Ala	Ser 115	Lys	Gly	Leu	Tyr	Leu 120	Glu	Thr	Glu	Ala	Gly 125	Tyr	Tyr	Lys
Leu	Ser 130	Gly	Glu	Ala	Tyr	Gly 135	Phe	Val	Ala	Arg	Ile 140	Asp	Gly	Ser	Gly
Asn 145	Phe	Gln	Val	Leu	Leu 150	Ser	Asp	Arg	Tyr	Phe 155	Asn	Lys	Thr	Cys	Gly 160
Leu	Cys	Gly	Asn	Phe 165	Asn	Ile	Phe	Ala	Glu 170	Asp	Asp	Phe	Met	Thr 175	Gln

Glu	Gly	Thr	Leu 180	Thr	Ser	Asp	Pro	Tyr 185	Asp	Phe	Ala	Asn	Ser 190	Trp	Ala
Leu	Ser	Ser 195	Gly	Glu	Gln	Trp	Cys 200	Glu	Arg	Ala	Ser	Pro 205	Pro	Ser	Ser
Ser	Cys 210	Asn	Ile	Ser	Ser	Gly 215	Glu	Met	Gln	Lys	Gly 220	Leu	Trp	Glu	Gln
Cys 225	Gln	Leu	Leu	Lys	Ser 230	Thr	Ser	Val	Phe	Ala 235	Arg	Cys	His	Pro	Leu 240
Val	Asp	Pro	Glu	Pro 245	Phe	Val	Ala	Leu	Cys 250	Glu	Lys	Thr	Leu	Cys 255	Glu
Cys	Ala	Gly	Gly 260	Leu	Glu	Cys	Ala	Cys 265	Pro	Ala	Leu	Leu	Glu 270	Tyr	Ala
Arg	Thr	Cys 275	Ala	Gln	Glu	Gly	Met 280	Val	Leu	Tyr	Gly	Trp 285	Thr	Asp	His
Ser	Ala 290	Cys	Ser	Pro	Val	Cys 295	Pro	Ala	Gly	Met	Glu 300	Tyr	Arg	Gln	Cys
Val 305	Ser	Pro	Cys	Ala	<b>A</b> rg 310	Thr	Cys	Gln	Ser	Leu 315	His	Ile	Asn	Glu	Met 320
Cys	Gln	Glu	Arg	Cys 325	Val	Asp	Gly	Cys	Ser 330	Cys	Pro	Glu	Gly	Gln 335	Leu
Leu	Asp	Glu	Gly 340	Leu	Cys	Val	Glu	Ser 345	Thr	Glu	Cys	Pro	Cys 350	Val	His
Ser	Gly	<b>Lys</b> 355	Arg	Tyr	Pro	Pro	Gly 360	Thr	Ser	Leu	Ser	<b>Arg</b> 365	Asp	Cys	Asn
Thr	Cys 370	Ile	Cys	Arg	Asn	Ser 375	Gln	Trp	Ile	Cys	Ser 380	Asn	Glu	Glu	Cys
Pro 385	Gly	Glu	Cys	Leu	Val 390	Thr	Gly	Gln	Ser	His 395	Phe	Lys	Ser	Phe	Asp 400
Asn	Arg	Tyr	Phe	Thr 405	Phe	Ser	Gly	Ile	Cys 410	Gln	Tyr	Leu	Leu	Ala 415	Arg
Asp	Cys	Gln	Asp	His	Ser	Phe	Ser	Ile	Val	Ile	Glu	Thr	Val	Gln	Cys

Ala	Asp	Asp 435	Arg	Asp	Ala	Val	Cys 440	Thr	Arg	Ser	Val	Thr 445	Val	Arg	Leu
Pro	Gly 450	Leu	His	Asn	Ser	Leu 455	Val	Lys	Leu	Lys	His 460	Gly	Ala	Gly	Val
Ala 465	Met	Asp	Gly	Gln	Asp 470	Val	Gln	Leu	Pro	Leu 475	Leu	Lys	Gly	Asp	Leu 480
Arg	Ile	Gln	His	Thr 485	Val	Thr	Ala	Ser	Val 490	Arg	Leu	Ser	Tyr	Gly 495	Glu
Asp	Leu	Gln	Met 500	Asp	Trp	Asp	Gly	<b>Arg</b> 505	Gly	Arg	Leu	Leu	Val 510	Lys	Leu
Ser	Pro	Val 515	Tyr	Ala	Gly	Lys	Thr 520	Суз	Gly	Leu	Суѕ	Gly 525	Asn	Tyr	Asn
Gly	<b>Asn</b> 530	Gln	Gly	Asp	Asp	Phe 535	Leu	Thr	Pro	Ser	Gly 540	Leu	Ala	Glu	Pro
Arg 545	Val	Glu	Asp	Phe	Gly 550	Asn	Ala	Trp	Lys	<b>Leu</b> 555	His	Gly	Asp	Cys	Gln 560
Asp	Leu	Gln	Lys	Gln 565	His	Ser	Asp	Pro	Cys 570	Ala	Leu	Asn	Pro	<b>Arg</b> 575	Met
Thr	Arg	Phe	Ser 580	Glu	Glu	Ala	Cys	Ala 585	Val	Leu	Thr	Ser	Pro 590	Thr	Phe
Glu	Ala	Cys 595	His	Arg	Ala	Val	Ser 600	Pro	Leu	Pro	Tyr	Leu 605	Arg	Asn	Cys
Arg	Tyr 610	Asp	Val	Cys	Ser	Cys 615	Ser	Asp	Gly	Arg	Glu 620	Суз	Leu	Cys	Gly
Ala 625	Leu	Ala	Ser	Tyr	Ala 630	Ala	Ala	Суѕ	Ala	Gly 635	Arg	Gly	Val	Arg	Val 640
Ala	Trp	Arg	Glu	Pro 645	Gly	Arg	Cys	Glu	Leu 650	Asn	Cys	Pro	Lys	Gly 655	Gln
Val	Tyr	Leu	Gln 660	Cys	Gly	Thr	Pro	Cys 665	Asn	Leu	Thr	Суз	<b>Arg</b> 670	Ser	Leu
Ser	Tyr	Pro	Asp	Glu	Glu	Cys	Asn	Glu	Ala	Cys	Leu	Glu	Gly	Cys	Phe

		675					680					685			
Cys	Pro 690	Pro	Gly	Leu	Tyr	Met 695	Asp	Glu	Arg	Gly	<b>Asp</b> 700	Cys	Val	Pro	Lys
<b>Ala</b> 705	Gln	Cys	Pro	Суз	<b>Tyr</b> 710	Tyr	Asp	Gly	Glu	Ile 715	Phe	Gln	Pro	Glu	Asp 720
Ile	Phe	Ser	Asp	His 725	His	Thr	Met	Cys	Tyr 730	Cys	Glu	Asp	Gly	Phe 735	Met
His	Cys	Thr	Met 740	Ser	Gly	Val	Pro	Gly 745	Ser	Leu	Leu	Pro	<b>Asp</b> 750	Ala	Val
Leu	Ser	Ser 755	Pro	Leu	Ser	His	Arg 760	Ser	Lys	Arg	Ser	Leu 765	Ser	Cys	Arg
Pro	Pro 770	Met	Val	Lys	Leu	<b>V</b> al 775	Cys	Pro	Ala	Asp	Asn 780	Leu	Arg	Ala	Glu
Gly 785	Leu	Glu	Cys	Thr	Lys 790	Thr	Cys	Gln	Asn	<b>Tyr</b> 795	Asp	Leu	Glu	Cys	Met 800
Ser	Met	Gly	Cys	Val 805	Ser	Gly	Суѕ	Leu	Cys 810	Pro	Pro	Gly	Met	Val 815	Arg
His	Glu	Asn	Arg 820	Cys	Val	Ala	Leu	Glu 825	Arg	Cys	Pro	Cys	Phe 830	His	Gln
Gly	Lys	Glu 835	Tyr	Ala	Pro	Gly	Glu 840	Thr	Val	Lys	Ile	Gly 845	Суѕ	Asn	Thr
Cys	Val 850	Cys	Gln	Asp	Arg	Lys 855	Trp	Asn	Cys	Thr	<b>Asp</b> 860	His	Val	Cys	Asp
<b>Ala</b> 865	Thr	Cys	Ser	Thr	Ile 870	Gly	Met	Ala	His	<b>Tyr</b> 875	Leu	Thr	Phe	Asp	Gly 880
Leu	Lys	Tyr	Leu	Phe 885	Pro	Gly	Glu	Cys	G1n 890	Tyr	Val	Leu	Val	Gln 895	Asp
Tyr	Cys	Gly	Ser 900	Asn	Pro	Gly	Thr	Phe 905	Arg	Ile	Leu	Val	Gly 910	Asn	Lys
Gly	Cys	Ser 915	His	Pro	Ser	Val	Lys 920	Cys	Lys	Lys	Arg	Val 925	Thr	Ile	Leu

- Val Glu Gly Gly Glu Ile Glu Leu Phe Asp Gly Glu Val Asn Val Lys 930 935 940
- Arg Pro Met Lys Asp Glu Thr His Phe Glu Val Val Glu Ser Gly Arg 945 950 955 960
- Tyr Ile Ile Leu Leu Gly Lys Ala Leu Ser Val Val Trp Asp Arg 965 970 975
- His Leu Ser Ile Ser Val Val Leu Lys Gln Thr Tyr Gln Glu Lys Val 980 985 990
- Cys Gly Leu Cys Gly Asn Phe Asp Gly Ile Gln Asn Asn Asp Leu Thr 995 1000 1005
- Ser Ser Asn Leu Gln Val Glu Glu Asp Pro Val Asp Phe Gly Asn 1010 1015 1020
- Ser Trp Lys Val Ser Ser Gln Cys Ala Asp Thr Arg Lys Val Pro 1025 1030 1035
- Leu Asp Ser Ser Pro Ala Thr Cys His Asn Asn Ile Met Lys Gln 1040 1045 1050
- Thr Met Val Asp Ser Ser Cys Arg Ile Leu Thr Ser Asp Val Phe 1055 1060 1065
- Gln Asp Cys Asn Lys Leu Val Asp Pro Glu Pro Tyr Leu Asp Val 1070 1075 1080
- Cys Ile Tyr Asp Thr Cys Ser Cys Glu Ser Ile Gly Asp Cys Ala 1085 1090 1095
- Cys Phe Cys Asp Thr Ile Ala Ala Tyr Ala His Val Cys Ala Gln 1100 1105 1110
- His Gly Lys Val Val Thr Trp Arg Thr Ala Thr Leu Cys Pro Gln 1115 1120 1125
- Ser Cys Glu Glu Arg Asn Leu Arg Glu Asn Gly Tyr Glu Cys Glu 1130 1135 1140
- Trp Arg Tyr Asn Ser Cys Ala Pro Ala Cys Gln Val Thr Cys Gln 1145 1150 1155
- His Pro Glu Pro Leu Ala Cys Pro Val Gln Cys Val Glu Gly Cys 1160 1165 1170

His	Ala 1175		Cys	Pro	Pro	Gly 1180	_	Ile	Leu	Asp	Glu 1185	Leu	Leu	Gln
Thr	Cys 1190	Val	Asp	Pro	Glu	Asp 1195	Cys	Pro	Val	Cys	Glu 1200	Val	Ala	Gly
Arg	Arg 1205	Phe	Ala	Ser		Lys 1210		Val	Thr	Leu	Asn 1215	Pro	Ser	Asp
Pro	Glu 1220		Суѕ	Gln	Ile	Cys 1225		Cys	Asp	Val	Val 1230	Asn	Leu	Thr
Cys	Glu 1235	Ala	Cys	Gln	Glu	Pro 1240	_	Gly	Leu	Val	Val 1245	Pro	Pro	Thr
Asp	Ala 1250	Pro	Val	Ser	Pro	Thr 1255	Thr	Leu	Tyr	Val	Glu 1260	Asp	Ile	Ser
Glu	Pro 1265	Pro	Leu	His	Asp	Phe 1270	Tyr	Cys	Ser	Arg	Leu 1275	Leu	Asp	Leu
Val	Phe 1280	Leu	Leu	Asp	Gly	Ser 1285	Ser	Arg	Leu	Ser	Glu 1290	Ala	Glu	Phe
Glu	Val	Leu	Lvs	Ala	Phe	Val	Val	Agn	Mot	Met.	Glu	Δτα	T.011	Ara
	1295		-10			1300	,,,,	пор	1100		1305	ALG	шец	mrg
Ile		Gln				1300	Val				1305	Tyr		
	1295 Ser	Gln	Lys	Trp	Val	1300 Arg 1315	Val	Ala	Val	Val	1305 Glu 1320	Tyr	His	Asp
Gly	1295 Ser 1310	Gln His	Lys Ala	Trp Tyr	Val	1300 Arg 1315 Gly 1330	Val Leu	Ala Lys	Val Asp	Val Arg	1305 Glu 1320 Lys 1335	Tyr Arg	His Pro	Asp
Gly Glu	1295 Ser 1310 Ser 1325	Gln His Arg	Lys Ala Arg	Trp Tyr	Val Ile Ala	1300 Arg 1315 Gly 1330 Ser 1345	Val Leu Gln	Ala Lys Val	Val Asp Lys	Val Arg Tyr	1305 Glu 1320 Lys 1335 Ala 1350	Tyr Arg Gly	His Pro Ser	Asp Ser Gln
Gly Glu Val	1295 Ser 1310 Ser 1325 Leu 1340 Ala	Gln His Arg	Lys Ala Arg	Trp Tyr Ile Ser	Val Ile Ala Glu	1300 Arg 1315 Gly 1330 Ser 1345 Val 1360	Val Leu Gln Leu	Ala Lys Val	Val Asp Lys	Val Arg Tyr	1305 Glu 1320 Lys 1335 Ala 1350 Leu 1365	Tyr Arg Gly Phe	His Pro Ser Gln	Asp Ser Gln
Gly Glu Val	1295 Ser 1310 Ser 1325 Leu 1340 Ala 1355 Ser	Gln His Arg Ser Lys	Lys Ala Arg Thr	Trp Tyr Ile Ser	Val Ile Ala Glu	1300 Arg 1315 Gly 1330 Ser 1345 Val 1360 Pro 1375	Val Leu Gln Leu Glu	Ala Lys Val Lys	Val Asp Lys Tyr	Val Arg Tyr Thr	Glu 1320 Lys 1335 Ala 1350 Leu 1365	Tyr Arg Gly Phe	His Pro Ser Gln Leu	Asp Ser Gln Ile

Val Gly 141		Gly Pro	His	Ala 1420		Leu	Lys	Gln	Ile 1425	_	Leu	Ile
Glu Lys 143		Ala Pro	Glu	Asn 1435		Ala	Phe	Val	Leu 1440	Ser	Ser	Val
Asp Glu 144		Glu Gln	Gln	Arg 1450	Asp	Glu	Ile	Val	Ser 1455	Tyr	Leu	Cys
Asp Leu 146		Pro Glu	Ala	Pro 1465	Pro	Pro	Thr	Leu	Pro 1 <b>4</b> 70	Pro	Asp	Met
Ala Gln 147		Thr Val	Gly	Pro 1480	Gly	Leu	Leu	Gly	Val 1485	Ser	Thr	Leu
Gly Pro	_	Arg Asn	Ser	Met 1495		Leu	Asp	Val	Ala 1500	Phe	Val	Leu
Glu Gly 150		Asp Lys	Ile	Gly 1510	Glu	Ala	Asp	Phe	<b>As</b> n 1515	Arg	Ser	Lys
Glu Phe 152		Glu Glu	Val	Ile 1525	Gln	Arg	Met	Asp	Val 1530	Gly	Gln	Asp
Ser Ile 153		Val Thr	Val	Leu 1540	Gln	Tyr	Ser	Tyr	Met 1545	Val	Thr	Val
Glu Tyr 155		Phe Ser	Glu	Ala 1555	Gln	Ser	Lys	Gly	Asp 1560	Ile	Leu	Gln
Arg Val		Glu Ile	Arg	<b>Tyr</b> 1570	Gln	Gly	Gly	Asn	Arg 1575	Thr	Asn	Thr
Gly Leu 158		Leu Arg	Tyr	Leu 1585	Ser	Asp	His	Ser	Phe 1590	Leu	Val	Ser
Gln Gly 159	_	Arg Glu	Gln	Ala 1600	Pro	Asn	Leu	Val	Tyr 1605	Met	Val	Thr
Gly Asn 161		Ala Ser	Asp	Glu 1615	Ile	Lys	Arg	Leu	Pro 1620	Gly	Asp	Ile
Gln Val 162		Pro Ile	Gly	Val 1630	Gly	Pro	Asn	Ala	Asn 1635	Val	Gln	Glu
Leu Glu	Arg I	Ile Gly	Trp	Pro	Asn	Ala	Pro	Ile	Leu	Ile	Gln	Asp

	1640					1645					1650			
Phe	Glu 1655	Thr	Leu	Pro	Arg	Glu 1660	Ala	Pro	Asp	Leu	Val 1665	Leu	Gln	Arg
Cys	Cys 1670	Ser	Gly	Glu	Gly	Leu 1675	Gln	Ile	Pro	Thr	Leu 1680	Ser	Pro	Ala
Pro	Asp 1685	Cys	Ser	Gln	Pro	Leu 1690	Asp	Val	Ile	Leu	Leu 1695	Leu	Asp	Gly
Ser	Ser 1700	Ser	Phe	Pro	Ala	Ser 1705	Tyr	Phe	Asp	Glu	Met 1710	Lys	Ser	Phe
Ala	Lys 1715	Ala	Phe	Ile	Ser	Lys 1720	Ala	Asn	Ile	Gly	Pro 1725	Arg	Leu	Thr
Gln	Val 1730	Ser	Val	Leu	Gln	Tyr 1735		Ser	Ile	Thr	Thr 1740	Ile	Asp	Val
Pro	Trp 1745		Val	Val	Pro	Glu 1750		Ala	His	Leu	Leu 1755	Ser	Leu	Val
Asp	Val 1760	Met	Gln	Arg	Glu	Gly 1765	Gly	Pro	Ser	Gln	Ile 1770	Gly	Asp	Ala
Leu	Gly 1775		Ala	Val	Arg	Tyr 1780		Thr	Ser	Glu	Met 1785	His	Gly	Ala
Arg	Pro 1790	Gly	Ala	Ser	Lys	Ala 1795	Val	Val	Ile	Leu	Val 1800	Thr	Asp	Val
Ser	Val 1805	Asp	Ser	Val	Asp	Ala 1810	Ala	Ala	Asp	Ala	Ala 1815	Arg	Ser	Asn
Arg	Val 1820	Thr	Val	Phe	Pro	Ile 1825	Gly	Ile	Gly	Asp	Arg 1830	Tyr	Asp	Ala
Ala	Gln 1835	Leu	Arg	Ile	Leu	Ala 1840	Gly	Pro	Ala	Gly	Asp 1845	Ser	Asn	Val
Val	Lys 1850	Leu	Gln	Arg	Ile	Glu 1855	Asp	Leu	Pro	Thr	Met 1860	Val	Thr	Leu
Gly	Asn 1865	Ser	Phe	Leu	His	Lys 1870	Leu	Cys	Ser	Gly	Phe 1875	Val	Arg	Ile

Cys	Met 1880		Glu	Asp	Gly	Asn 1885	Glu	Lys	Arg	Pro	Gly 1890	Asp	Val	Trp
Thr	Leu 1895	Pro	Asp	Gln	Cys	His 1900	Thr	Val	Thr	Cys	Gln 1905	Pro	Asp	Gly
Gln	Thr 1910	Leu	Leu	Lys	Ser	His 1915	Arg	Val	Asn	Cys	Asp 1920	Arg	Gly	Leu
Arg	Pro 1925	Ser	Cys	Pro	Asn	Ser 1930	Gln	Ser	Pro	Val	Lys 1935	Val	Glu	Glu
Thr	Cys 1940		Cys	Arg	Trp	Thr 1945	Суз	Pro	Cys	Val	Cys 1950		Gly	Ser
Ser	Thr 1955	Arg	His	Ile	Val	Thr 1960	Phe	Asp	Gly	Gln	Asn 1965	Phe	Lys	Leu
Thr	Gly 1970	Ser	Cys	Ser	Tyr	Val 1975	Leu	Phe	Gln	Asn	Lys 1980	Glu	Gln	Asp
Leu	Glu 1985	Val	Ile	Leu	His	Asn 1990	Gly	Ala	Cys	Ser	Pro 1995	Gly	Ala	Arg
Gln	Gly 2000	_	Met	Lys	Ser	Ile 2005	Glu	Val	Lys	His	Ser 2010	Ala	Leu	Ser
Val	Glu 2015	Leu	His	Ser	Asp	Met 2020	Glu	Val	Thr	Val	Asn 2025	Gly	Arg	Leu
Val	Ser 2030	Val	Pro	Tyr	Val	Gly 2035	Gly	Asn	Met	Glu	Val 2040	Asn	Val	Tyr
Gly	Ala 2045	Ile	Met	His	Glu	Val 2050	Arg	Phe	Asn	His	Leu 2055	Gly	His	Ile
Phe	Thr 2060	Phe	Thr	Pro	Gln	Asn 2065	Asn	Glu	Phe	Gln	Leu 2070	Gln	Leu	Ser
Pro	Lys 2075	Thr	Phe	Ala	Ser	Lys 2080	Thr	Tyr	Gly	Leu	Cys 2085	Gly	Ile	Cys
Asp	Glu 2090	Asn	Gly	Ala	Asn	Asp 2095	Phe	Met	Leu	Arg	Asp 2100	Gly	Thr	Val
Thr	Thr 2105	Asp	Trp	Lys	Thr	Leu 2110	Val	Gln	Glu	Trp	Thr 2115	Val	Gln	Arg

Pro	Gly 2120		Thr	Cys	Gln	Pro 2125		Leu	Glu	Glu	Gln 2130	Cys	Leu	Val
Pro	Asp 2135	Ser	Ser	His	Cys	Gln 2140	Val	Leu	Leu	Leu	Pro 21 <b>4</b> 5	Leu	Phe	Ala
Glu	Cys 2150	His	Lys	Val	Leu	Ala 2155		Ala	Thr	Phe	Tyr 2160	Ala	Ile	Cys
Gln	Gln 2165	Asp	Ser	Cys	His	Gln 2170	Glu	Gln	Val	Cys	Glu 2175	Val	Ile	Ala
Ser	Tyr 2180		His	Leu		Arg 2185	Thr	Asn	Gly	Val	Cys 2190	Val	Asp	Trp
Arg	Thr 2195	Pro	Asp	Phe	Cys	Ala 2200	Met	Ser	Cys	Pro	Pro 2205		Leu	Val
Tyr	Asn 2210	His	Cys	Glu	His	Gly 2215	Cys	Pro	Arg	His	Cys 2220	Asp	Gly	Asn
Val	Ser 2225	Ser	Cys	Gly	Asp	His 2230	Pro	Ser	Glu	Gly	Cys 2235		Cys	Pro
Pro	Asp 2240	Lys	Val	Met	Leu	Glu 2245	Gly	Ser	Cys	Val	Pro 2250	Glu	Glu	Ala
Cys	Thr 2255		Cys	Ile		Glu 2260		Gly	Val	Gln	His 2265		Phe	Leu
Glu	Ala 2270	Trp	Val	Pro	Asp	His 2275	Gln	Pro	Cys	Gln	Ile 2280	Суз	Thr	Cys
Leu	Ser 2285	Gly	Arg	Lys	Val	Asn 2290	Cys	Thr	Thr	Gln	Pro 2295	Cys	Pro	Thr
Ala	Lys 2300	Ala	Pro	Thr	Cys	Gly 2305	Leu	Cys	Glu	Val	Ala 2310	Arg	Leu	Arg
Gln	Asn 2315	Ala	Asp	Gln	Суз	Cys 2320	Pro	Glu	Tyr	Glu	Cys 2325	Val	Cys	Asp
Pro	Val 2330	Ser	Cys	Asp	Leu	Pro 2335	Pro	Val	Pro	His	Cys 2340	Glu	Arg	Gly
Leu	Gln 23 <b>4</b> 5	Pro	Thr	Leu	Thr	Asn 2350	Pro	Gly	Glu	Cys	Arg 2355	Pro	Asn	Phe

Thr	Cys 2360		Cys	Arg	Lys	Glu 2365		Cys	Lys	Arg	Val 2370	Ser	Pro	Pro
Ser	Cys 2375	Pro	Pro	His	Arg	Leu 2380	Pro	Thr	Leu	Arg	Lys 2385	Thr	Gln	Cys
Cys	Asp 2390	Glu	Tyr	Glu		Ala 2395		Asn	Cys	Val	Asn 2400	Ser	Thr	Val
Ser	Cys 2405	Pro	Leu	Gly	Tyr	Leu 2410	Ala	Ser	Thr	Ala	Thr 2415	Asn	Asp	Cys
Gly	Cys 2420		Thr	Thr	Thr	Cys 2 <b>4</b> 25		Pro	Asp	Lys	Val 2430	_	Val	His
Arg	Ser 2435		Ile	Tyr	Pro	Val 2440	_	Gln	Phe	Trp	Glu 2445	Glu	Gly	Cys
Asp	Val 2450	Cys	Thr	Cys	Thr	Asp 2455	Met	Glu	Asp	Ala	Val 2460	Met	Gly	Leu
Arg	Val 2465	Ala	Gln	Cys	Ser	Gln 2 <b>4</b> 70	Lys	Pro	Cys	Glu	Asp 2475	Ser	Cys	Arg
Ser	Gly 2480	Phe	Thr	Tyr	Val	Leu 2485	His	Glu	Gly	Glu	Cys 2490	Cys	Gly	Arg
Cys	Leu 2495	Pro	Ser	Ala		Glu 2500	Val	Val	Thr	Gly	Ser 2505	Pro	Arg	Gly
Asp	Ser 2510	Gln	Ser	Ser	Trp	Lys 2515	Ser	Val	Gly	Ser	Gln 2520	Trp	Ala	Ser
Pro	Glu 2525	Asn	Pro	Cys	Leu	Ile 2530	Asn	Glu	Cys	Val	Arg 2535	Val	Lys	Glu
Glu	Val 2540	Phe	Ile	Gln	Gln	Arg 2545	Asn	Val	Ser	Cys	Pro 2550	Gln	Leu	Glu
Val	Pro 2555	Val	Cys	Pro	Ser	Gly 2560	Phe	Gln	Leu	Ser	Cys 2565	Lys	Thr	Ser
Ala	Cys 2570	Cys	Pro	Ser	Cys	Arg 2575	Cys	Glu	Arg	Met	Glu 2580	Ala	Cys	Met
Leu	Asn	Gly	Thr	Val	Ile	Gly	Pro	Gly	Lys	Thr	Val	Met	Ile	Asp

	2585					2590					2595			
Val	Cys 2600		Thr	Cys	Arg	Cys 2605		Val	Gln	Val	Gly 2610	Val	Ile	Ser
Gly	Phe 2615	Lys	Leu	Glu	Cys	Arg 2620	Lys	Thr	Thr	Cys	Asn 2625	Pro	Cys	Pro
Leu	Gly 2630		Lys	Glu	Glu	Asn 2635		Thr	Gly	Glu	Cys 2640	Cys	Gly	Arg
Cys	Leu 2645	Pro	Thr	Ala	Cys	Thr 2650	Ile	Gln	Leu	Arg	Gly 2655	Gly	Gln	Ile
Met	Thr 2660		Lys	Arg	_	Glu 2665		Leu	Gln	Asp	Gly 2670	_	Asp	Thr
His	Phe 2675		Lys	Val	Asn	Glu 2680	Arg	Gly	Glu	Tyr	Phe 2685	Trp	Glu	Lys
Arg	Val 2690	Thr	Gly	Cys	Pro	Pro 2695	Phe	Asp	Glu	His	Lys 2700	Cys	Leu	Ala
Glu	Gly 2705	-	Lys	Ile	Met	Lys 2710	Ile	Pro	Gly	Thr	Cys 2715	Cys	Asp	Thr
Cys	Glu 2720	Glu	Pro	Glu	Суз	Asn 2725	Asp	Ile	Thr	Ala	Arg 2730	Leu	Gln	Tyr
Val	Lys 2735	Val	Gly	Ser	Cys	Lys 2740	Ser	Glu	Val	Glu	Val 27 <b>4</b> 5	Asp	Ile	His
Tyr	Cys 2750	Gln	Gly	Lys	Cys	Ala 2755	Ser	Lys	Ala	Met	Tyr 2760		Ile	Asp
Ile	Asn 2765		Val	Gln	Asp	Gln 2770	Суз	Ser	Суѕ	Суз	Ser 2775	Pro	Thr	Arg
Thr	Glu 2780	Pro	Met	Gln	Val	Ala 2785	Leu	His	Cys	Thr	Asn 2790	Gly	Ser	Val
Val	Tyr 2795		Glu	Val	Leu	Asn 2800	Ala	Met	Glu	Cys	<b>Lys</b> 2805	Cys	Ser	Pro
Arg	Lys 2810	Cys	Ser	Lys										

<210> 2 <211> 1365 <212> PRT 5 <213> Homo sapiens

<400> 2

Ser Leu Ser Cys Arg Pro Pro Met Val Lys Leu Val Cys Pro Ala Asp 1 5 10 15

Asn Leu Arg Ala Glu Gly Leu Glu Cys Thr Lys Thr Cys Gln Asn Tyr 20 25 30

Asp Leu Glu Cys Met Ser Met Gly Cys Val Ser Gly Cys Leu Cys Pro 35 40 45

Pro Gly Met Val Arg His Glu Asn Arg Cys Val Ala Leu Glu Arg Cys 50 55 60

Pro Cys Phe His Gln Gly Lys Glu Tyr Ala Pro Gly Glu Thr Val Lys 65 70 75 80

Ile Gly Cys Asn Thr Cys Val Cys Gln Asp Arg Lys Trp Asn Cys Thr 85 90 95

Asp His Val Cys Asp Ala Thr Cys Ser Thr Ile Gly Met Ala His Tyr 100 105 110

Leu Thr Phe Asp Gly Leu Lys Tyr Leu Phe Pro Gly Glu Cys Gln Tyr 115 120 125

Val Leu Val Gln Asp Tyr Cys Gly Ser Asn Pro Gly Thr Phe Arg Ile 130 135 140

Leu Val Gly Asn Lys Gly Cys Ser His Pro Ser Val Lys Cys Lys Lys 145 150 155 160

Arg Val Thr Ile Leu Val Glu Gly Glu Ile Glu Leu Phe Asp Gly
165 170 175

Glu Val Asn Val Lys Arg Pro Met Lys Asp Glu Thr His Phe Glu Val 180 185 190

Val Glu Ser Gly Arg Tyr Ile Ile Leu Leu Gly Lys Ala Leu Ser 195 200 205

Val Val Trp Asp Arg His Leu Ser Ile Ser Val Val Leu Lys Gln Thr 210 215 220

Tyr 225	Gln	Glu	Lys	Val	Cys 230	Gly	Leu	Cys	Gly	Asn 235	Phe	Asp	Gly	Ile	Gln 240
Asn	Asn	Asp	Leu	Thr 245	Ser	Ser	Asn	Leu	Gln 250	Val	Glu	Glu	Asp	Pro 255	Val
Asp	Phe	Gly	Asn 260	Ser	Trp	Lys	Val	Ser 265	Ser	Gln	Cys	Ala	<b>Asp</b> 270	Thr	Arg
Lys	Val	Pro 275	Leu	Asp	Ser	Ser	Pro 280	Ala	Thr	Cys	His	Asn 285	Asn	Ile	Met
Lys	Gln 290	Thr	Met	Val	Asp	Ser 295	Ser	Cys	Arg	Ile	Leu 300	Thr	Ser	Asp	Val
Phe 305	Gln	Asp	Cys	Asn	Lys 310	Leu	Val	Asp	Pro	Glu 315	Pro	Tyr	Leu	Asp	Val 320
Cys	Ile	Tyr	Asp	Thr 325	Cys	Ser	Суѕ	Glu	Ser 330	Ile	Gly	Asp	Суѕ	Ala 335	Суѕ
	-		340					345					Gln 350		_
-		355		_			360			_		365	Ser		
	370					375	Ī				380	_	Arg		
385					390				_	395			Glu		400
				405					410				Cys	415	
			420					425					Pro 430		
		435					440					445	Gly		
	450					455					460		Cys		
Asp 465	Val	Val	Asn	Leu	Thr 470	Cys	Glu	Ala	Cys	Gln 475	Glu	Pro	Gly	Gly	Leu 480

Val	Val	Pro	Pro	Thr 485	Asp	Ala	Pro	Val	Ser 490	Pro	Thr	Thr	Leu	Tyr 495	Val
Glu	Asp	Ile	Ser 500	Glu	Pro	Pro	Leu	His 505	Asp	Phe	Tyr	Cys	Ser 510	Arg	Leu
Leu	Asp	Leu 515	Val	Phe	Leu	Leu	Asp 520	Gly	Ser	Ser	Arg	Leu 525	Ser	Glu	Ala
Glu	Phe 530	Glu	Val	Leu	Lys	Ala 535	Phe	Val	Val	Asp	Met 540	Met	Glu	Arg	Leu
Arg 545	Ile	Ser	Gln	Lys	Trp 550	Val	Arg	Val	Ala	Val 555	Val	Glu	Tyr	His	<b>Asp</b> 560
Gly	Ser	His	Ala	Tyr 565	Ile	Gly	Leu	Lys	<b>Asp</b> 570	Arg	Lys	Arg	Pro	Ser 575	Glu
Leu	Arg	Arg	Ile 580	Ala	Ser	Gln	Val	Lys 585	Tyr	Ala	Gly	Ser	Gln 590	Val	Ala
Ser	Thr	Ser 595	Glu	Val	Leu	Lys	<b>Tyr</b> 600	Thr	Leu	Phe	Gln	Ile 605	Phe	Ser	Lys
Ile	Asp 610	Arg	Pro	Glu	Ala	Ser 615	Arg	Ile	Thr	Leu	Leu 620	Leu	Met	Ala	Ser
Gln 625	Glu	Pro	Gln	Arg	Met 630	Ser	Arg	Asn	Phe	Val 635	Arg	Tyr	Val	Gln	Gly 640
Leu	Lys	Lys	Lys	Lys 645	Val	Ile	Val	Ile	Pro 650	Val	Gly	Ile	Gly	Pro 655	His
Ala	Asn	Leu	Lys 660	Gln	Ile	Arg	Leu	Ile 665	Glu	Lys	Gln	Ala	Pro 670	Glu	Asn
Lys	Ala	Phe 675	Val	Leu	Ser	Ser	Val 680	Asp	Glu	Leu	Glu	Gln 685	Gln	Arg	Asp
Glu	Ile 690	Val	Ser	Tyr	Leu	Cys 695	Asp	Leu	Ala	Pro	Glu 700	Ala	Pro	Pro	Pro
Thr 705	Leu	Pro	Pro	Asp	Met 710	Ala	Gln	Val	Thr	Val 715	Gly	Pro	Gly	Leu	Leu 720
Gly	Val	Ser	Thr	Leu 725	Gly	Pro	Lys	Arg	Asn 730	Ser	Met	Val	Leu	<b>Asp</b> 735	Val

АІА	Pne	vai	740	GIU	GTĀ	ser	Asp	145	тте	GIŸ	GIU	АІА	750	Pne	Asn
Arg	Ser	<b>Lys</b> 755	Glu	Phe	Met	Glu	Glu 760	Val	Ile	Gln	Arg	Met 765	Asp	Val	Gly
Gln	<b>Asp</b> 770	Ser	Ile	His	Val	Thr 775	Val	Leu	Gln	Tyr	Ser 780	Tyr	Met	Val	Thr
<b>Val</b> 785	Glu	Tyr	Pro	Phe	Ser 790	Glu	Ala	Gln	Ser	<b>Lys</b> 795	Gly	Asp	Ile	Leu	Gln 800
Arg	Val	Arg	Glu	Ile 805	Arg	Tyr	Gln	Gly	Gly 810	Asn	Arg	Thr	Asn	Thr 815	Gly
Leu	Ala	Leu	Arg 820	Tyr	Leu	Ser	Asp	His 825	Ser	Phe	Leu	Val	Ser 830	Gln	Gly
Asp	Arg	Glu 835	Gln	Ala	Pro	Asn	Leu 840	Val	Tyr	Met	Val	Thr 845	Gly	Asn	Pro
Ala	Ser 850	Asp	Glu	Ile	Lys	<b>Arg</b> 855	Leu	Pro	Gly	Asp	11e 860	Gln	Val	Val	Pro
Ile 865	Gly	Val	Gly	Pro	<b>A</b> sn 870	Ala	Asn	Val	Gln	Glu 875	Leu	Glu	Arg	Ile	Gly 880
Trp	Pro	Asn	Ala	Pro 885	Ile	Leu	Ile	Gln	Asp 890	Phe	Glu	Thr	Leu	Pro 895	Arg
Glu	Ala	Pro	Asp 900	Leu	Val	Leu	Gln	Arg 905	Cys	Cys	Ser	Gly	Glu 910	Gly	Leu
Gln	Ile	Pro 915	Thr	Leu	Ser	Pro	Ala 920	Pro	Asp	Cys	Ser	Gln 925	Pro	Leu	Asp
Val	11e 930	Leu	Leu	Leu	Asp	Gly 935	Ser	Ser	Ser	Phe	Pro 940	Ala	Ser	Tyr	Phe
Asp 945	Glu	Met	Lys	Ser	Phe 950	Ala	Lys	Ala	Phe	Ile 955	Ser	Lys	Ala	Asn	Ile 960
Gly	Pro	Arg	Leu	Thr 965	Gln	Val	Ser	Val	<b>Leu</b> 970	Gln	Tyr	Gly	Ser	Ile 975	Thr
Thr	Ile	Asp	Val	Pro	Trp	Asn	Val	Val	Pro	Glu	Lys	Ala	His	Leu	Leu

Ser		Val 1 995	Asp V	/al N	Met (		rg (	Glu (	Gly (	Gly 1		er (	Gln :	Ile Gly
Asp	Ala 1010	Leu	Gly	Phe	Ala	Val 1015	_	Tyr	Leu	Thr	Ser 1020	Glu	Met	His
Gly	Ala 1025	Arg	Pro	Gly	Ala	Ser 1030	Lys	Ala	Val	Val	Ile 1035	Leu	Val	Thr
Asp	Val 10 <b>4</b> 0		Val	Asp	Ser	Val 1045	-	Ala	Ala	Ala	Asp 1050	Ala	Ala	Arg
Ser	Asn 1055	_	Val	Thr	Val	Phe 1060	Pro	Ile	Gly	Ile	Gly 1065	Asp	Arg	Tyr
Asp	Ala 1070	Ala	Gln	Leu	Arg	Ile 1075	Leu	Ala	Gly	Pro	Ala 1080	Gly	Asp	Ser
Asn	Val 1085	Val	Lys	Leu	Gln	Arg 1090	Ile	Glu	Asp	Leu	Pro 1095	Thr	Met	Val
Thr	Leu 1100	Gly	Asn	Ser	Phe	Leu 1105	His	Lys	Leu	Cys	Ser 1110	Gly	Phe	Val
Arg	Ile 1115	Cys	Met	Asp	Glu	Asp 1120	Gly	Asn	Glu	Lys	Arg 1125	Pro	Gly	Asp
Val	Trp 1130	Thr	Leu	Pro	Asp	Gln 1135	Сув	His	Thr	Val	Thr 1140	Суз	Gln	Pro
Asp	Gly 11 <b>4</b> 5	Gln	Thr	Leu	Leu	Lys 1150	Ser	His	Arg	Val	Asn 1155	Cys	Asp	Arg
Gly	Leu 1160	Arg	Pro	Ser	Cys	Pro 1165	Asn	Ser	Gln	Ser	Pro 1170	Val	Lys	Val
Glu	Glu 1175	Thr	Cys	Gly	Cys	Arg 1180	Trp	Thr	Cys	Pro	Cys 1185	Val	Cys	Thr
Gly	Ser 1190	Ser	Thr	Arg	His	Ile 1195	Val	Thr	Phe	Asp	Gly 1200	Gln	Asn	Phe
Lys	Leu 1205	Thr	Gly	Ser	Cys	Ser 1210	Tyr	Val	Leu	Phe	Gln 1215	Asn	Lys	Glu

10		Pro	Gly 50	Met	Val	Arg		G1u 55	Asn	Ar	g Cy	s Va	1 Al 60	a Leu	Glu	Arg	Cys
		Asp		<b>Gl</b> u 35	Cys	Met	Ser	Met	Gly 40	Сy	s Va.	l Se	r Gl	y Cys 45	Leu	Cys	Pro
		Asn	Leu	Arg	<b>Ala</b> 20	Glu	Gly	Leu	Glu	Cy: 25	s Th	r Ly	s Th	r Cys	Gln 30	Asn	Tyr
		Ser 1	Leu	Ser	Cys	Arg 5	Pro	Pro	Met	Va.	1 Ly: 10	s Le	u Va	l Cys	Pro	<b>Al</b> a 15	Asp
	<400> 3	•															
5	<210> 3 <211> 272 <212> PRT <213> Homo	sapier	าร														
		Gln	Arg 135		o Gl	y Gl	n Th		s (	Gln	Pro	Ile	Leu	Glu 1365			
		Thr	Val		r Th	r As	p Tr		s :	<b>Fhr</b>	Leu	Val	Gln	Glu 1350	Trp	Thr	Val
		Ile	Cys 132		p Gl	u As	n Gl		a 1	Asn	Asp	Phe	Met	Leu 1335	Arg	Asp	Gly
		Leu	Ser 131		o Ly	s Th	r Ph		a s	Ser	Lys	Thr	Tyr	Gly 1320	Leu	Cys	Gly
		His	Ile 129		e Th	r Ph	e Th		00	Gln	Asn	Asn	Glu	Phe 1305	Gln	Leu	Gln
		Val	Tyr 128		y Al	a Il	e Me		s ( 85	Glu	Val	Arg	Phe	Asn 1290	His	Leu	Gly
		Arg	Leu 126		l Se	r Va	l Pr		r \	Val	Gly	Gly	Asn	Met 1275	Glu	Val	Asn
		Leu	Ser 125		l Gl	u Le	u Hi		r 1	Asp	Met	Glu	Val	Thr 1260	Val	Asn	Gly
		Ala	Arg 123		n Gl	у Су	s Me	_	s s	Ser	Ile	Glu	Val	Lys 1245	His	Ser	Ala
		GIN	122		u GI	u va	T 114		25	als	Asn	GIĀ	Ата	1230	ser	Pro	стх

		Pro 65	Cys	Phe	His	Gln	Gly 70	Lys	Glu	Tyr	Ala	Pro 75	Gly	Glu	Thr	Val	Lys 80
		Ile	Gly	Cys	Asn	Thr 85	Cys	Val	Cys	Gln	Asp 90	Arg	Lys	Trp	Asn	Cys 95	Thr
		Asp	His	Val	Cys 100	Asp	Ala	Thr	Cys	Ser 105	Thr	Ile	Gly	Met	Ala 110	His	Tyr
		Leu	Thr	Phe 115	Asp	Gly	Leu	Lys	Tyr 120	Leu	Phe	Pro	Gly	Glu 125	Cys	Gln	Tyr
		Val	Leu 130	Val	Gln	Asp	Tyr	Cys 135	Gly	Ser	Asn	Pro	Gly 140	Thr	Phe	Arg	Ile
		Leu 145	Val	Gly	Asn	Lys	Gly 150	Cys	Ser	His	Pro	Ser 155	Val	Lys	Cys	Lys	Lys 160
		Arg	Val	Thr	Ile	Leu 165	Val	Glu	Gly	Gly	Glu 170	Ile	Glu	Leu	Phe	<b>Asp</b> 175	Gly
		Glu	Val	Asn	Val 180	Lys	Arg	Pro	Met	Lys 185	Asp	Glu	Thr	His	Phe 190	Glu	Val
		Val	Glu	Ser 195	Gly	Arg	Tyr	Ile	Ile 200	Leu	Leu	Leu	Gly	Lys 205	Ala	Leu	Ser
		Val	Val 210	Trp	Asp	Arg	His	Leu 215	Ser	Ile	Ser	Val	Val 220	Leu	Lys	Gln	Thr
		Tyr 225	Gln	Glu	Lys	Val	Cys 230	Gly	Leu	Cys	Gly	Asn 235	Phe	Asp	Gly	Ile	Gln 240
		Asn	Asn	Asp	Leu	Thr 245	Ser	Ser	Asn	Leu	Gln 250	Val	Glu	Glu	Asp	Pro 255	Val
	<210> 4	Asp	Phe	Gly	Asn 260	Ser	Trp	Lys	Val	Ser 265	Ser	Gln	Cys	Ala	Asp 270	Thr	Arg
5	<211> 910 <212> PRT <213> Homo s	sapien	s														
	<400> 4																
10		Ser 1	Leu	Ser	Cys	Arg 5	Pro	Pro	Met	Val	Lys 10	Leu	Val	Cys	Pro	Ala 15	Asp

Asn	Leu	Arg	Ala 20	Glu	Gly	Leu	Glu	Суs 25	Thr	Lys	Thr	Сув	Gln 30	Asn	Tyr
Asp	Leu	Glu 35	Cys	Met	Ser	Met	Gly 40	Сув	Val	Ser	Gly	Cys 45	Leu	Cys	Pro
Pro	Gly 50	Met	Val	Arg	His	Glu 55	Asn	Arg	Cys	Val	Ala 60	Leu	Glu	Arg	Cys
Pro 65	Cys	Phe	His	Gln	Gly 70	Lys	Glu	Tyr	Ala	Pro 75	Gly	Glu	Thr	Val	Lys 80
Ile	Gly	Cys	Asn	Thr 85	Cys	Val	Cys	Gln	<b>As</b> p 90	Arg	Lys	Trp	Asn	Cys 95	Thr
Asp	His	Val	Cys 100	Asp	Ala	Thr	Cys	Ser 105	Thr	Ile	Gly	Met	Ala 110	His	Tyr
Leu	Thr	Phe 115	Asp	Gly	Leu	Lys	Tyr 120	Leu	Phe	Pro	Gly	Glu 125	Cys	Gln	Tyr
Val	Leu 130	Val	Gln	Asp	Tyr	C <b>ys</b> 135	Gly	Ser	Asn	Pro	Gly 140	Thr	Phe	Arg	Ile
Leu 145	Val	Gly	Asn	Lys	Gly 150	Cys	Ser	His	Pro	Ser 155	Val	Lys	Cys	Lys	Lys 160
Arg	Val	Thr	Ile	Leu 165	Val	Glu	Gly	Gly	Glu 170	Ile	Glu	Leu	Phe	Asp 175	Gly
Glu	Val	Asn	<b>V</b> al 180	Lys	Arg	Pro	Met	Lys 185	Asp	Glu	Thr	His	Phe 190	Glu	Val
Val	Glu	Ser 195	Gly	Arg	Tyr	Ile	11e 200	Leu	Leu	Leu	Gly	Lys 205	Ala	Leu	Ser
Val	Val 210	Trp	Asp	Arg	His	Leu 215	Ser	Ile	Ser	Val	Val 220	Leu	Lys	Gln	Thr
Tyr 225	Gln	Glu	Lys	Val	Cys 230	Gly	Leu	Cys	Gly	Asn 235	Phe	Asp	Gly	Ile	Gln 240
Asn	Asn	Asp	Leu	Thr 245	Ser	Ser	Asn	Leu	Gln 250	Val	Glu	Glu	Asp	Pro 255	Val
Asp	Phe	Gly	Asn 260	Ser	Trp	Lys	Val	<b>Ser</b> 265	Ser	Gln	Cys	Ala	Asp 270	Thr	Arg

Lys	Val	Pro 275	Leu	Asp	Ser	Ser	Pro 280	Ala	Thr	Cys	His	Asn 285	Asn	Ile	Met
Lys	Gln 290	Thr	Met	Val	Asp	Ser 295	Ser	Cys	Arg	Ile	Leu 300	Thr	Ser	Asp	Val
Phe 305	Gln	Asp	Cys	Asn	Lys 310	Leu	Val	Asp	Pro	Glu 315	Pro	Tyr	Leu	Asp	Val 320
Cys	Ile	Tyr	Asp	Thr 325	Cys	Ser	Cys	Glu	Ser 330	Ile	Gly	Asp	Cys	Ala 335	Cys
Phe	Cys	Asp	Thr 340	Ile	Ala	Ala	Tyr	Ala 345	His	Val	Cys	Ala	Gln 350	His	Gly
Lys	Val	Val 355	Thr	Trp	Arg	Thr	<b>A</b> la 360	Thr	Leu	Суз	Pro	Gln 365	Ser	Cys	Glu
Glu	<b>A</b> rg 370	Asn	Leu	Arg	Glu	<b>Asn</b> 375	Gly	Tyr	Glu	Cys	Glu 380	Trp	Arg	Tyr	Asn
Ser 385	Cys	Ala	Pro	Ala	Cys 390	Gln	Val	Thr	Cys	Gln 395	His	Pro	Glu	Pro	Leu 400
Ala	Cys	Pro	Val	Gln 405	Cys	Val	Glu	Gly	Cys 410	His	Ala	His	Cys	Pro 415	Pro
Gly	Lys	Ile	Leu 420	Asp	Glu	Leu	Leu	Gln 425	Thr	Cys	Val	Asp	Pro 430	Glu	Asp
Cys	Pro	Val 435	Cys	Glu	Val	Ala	Gly 440	Arg	Arg	Phe	Ala	Ser 445	Gly	Lys	Lys
Val	Thr 450	Leu	Asn	Pro	Ser	Asp 455	Pro	Glu	His	Cys	Gln 460	Ile	Cys	His	Cys
Asp 465	Val	Val	Asn	Leu	Thr 470	Cys	Glu	Ala	Cys	Gln 475	Glu	Pro	Gly	Gly	Leu 480
Val	Val	Pro	Pro	Thr 485	Asp	Ala	Pro	Val	Ser 490	Pro	Thr	Thr	Leu	Tyr 495	Val
Glu	Asp	Ile	Ser 500	Glu	Pro	Pro	Leu	His 505	Asp	Phe	Tyr	Cys	Ser 510	Arg	Leu
Leu	Asp	Leu	Val	Phe	Leu	Leu	Asp	Gly	Ser	Ser	Arg	Leu 525	Ser	Glu	Ala

Glu	Phe 530	Glu	Val	Leu	Lys	Ala 535	Phe	Val	Val	Asp	Met 540	Met	Glu	Arg	Leu
Arg 545	Ile	Ser	Gln	Lys	Trp 550	Val	Arg	Val	Ala	Val 555	Val	Glu	Tyr	His	<b>Asp</b> 560
Gly	Ser	His	Ala	Tyr 565	Ile	Gly	Leu	Lys	<b>Asp</b> 570	Arg	Lys	Arg	Pro	Ser 575	Glu
Leu	Arg	Arg	Ile 580	Ala	Ser	Gln	Val	<b>Lys</b> 585	Tyr	Ala	Gly	Ser	Gln 590	Val	Ala
Ser	Thr	Ser 595	Glu	Val	Leu	Lys	<b>Tyr</b> 600	Thr	Leu	Phe	Gln	Ile 605	Phe	Ser	Lys
Ile	Asp 610	Arg	Pro	Glu	Ala	Ser 615	Arg	Ile	Thr	Leu	Leu 620	Leu	Met	Ala	Ser
Gln 625	Glu	Pro	Gln	Arg	Met 630	Ser	Arg	Asn	Phe	Val 635	Arg	Tyr	Val	Gln	Gly 640
Leu	Lys	Lys	Lys	Lys 645	Val	Ile	Val	Ile	Pro 650	Val	Gly	Ile	Gly	Pro 655	His
Ala	Asn	Leu	<b>Lys</b> 660	Gln	Ile	Arg	Leu	Ile 665	Glu	Lys	Gln	Ala	Pro 670	Glu	Asn
Lys	Ala	Phe 675	Val	Leu	Ser	Ser	Val 680	Asp	Glu	Leu	Glu	Gln 685	Gln	Arg	Asp
Glu	Ile 690	Val	Ser	Tyr	Leu	Cys 695	Asp	Leu	Ala	Pro	Glu 700	Ala	Pro	Pro	Pro
Thr 705	Leu	Pro	Pro	Asp	Met 710	Ala	Gln	Val	Thr	Val 715	Gly	Pro	Gly	Leu	Leu 720
Gly	Val	Ser	Thr	Leu 725	Gly	Pro	Lys	Arg	<b>Asn</b> 730	Ser	Met	Val	Leu	<b>Asp</b> 735	Val
Ala	Phe	Val	Leu 740	Glu	Gly	Ser	Asp	Lys 745	Ile	Gly	Glu	Ala	<b>Asp</b> 750	Phe	Asn
Arg	Ser	<b>Lys</b> 755	Glu	Phe	Met	Glu	Glu 760	Val	Ile	Gln	Arg	Met 765	Asp	Val	Gly

Gln Asp Ser Ile His Val Thr Val Leu Gln Tyr Ser Tyr Met Val Thr

			770					115					780				
		Val 785	Glu	Tyr	Pro	Phe	Ser 790	Glu	Ala	Gln	Ser	Lys 795	Gly	Asp	Ile	Leu	Glr 800
		Arg	Val	Arg	Glu	Ile 805	Arg	Tyr	Gln	Gly	Gly 810	Asn	Arg	Thr	Asn	Thr 815	Gly
		Leu	Ala	Leu	Arg 820	Tyr	Leu	Ser	Asp	His 825	Ser	Phe	Leu	Val	Ser 830	Gln	Gly
		Asp	Arg	Glu 835	Gln	Ala	Pro	Asn	Leu 840	Val	Tyr	Met	Val	Thr 845	Gly	Asn	Pro
		Ala	Ser 850	Asp	Glu	Ile	Lys	Arg 855	Leu	Pro	Gly	Asp	Ile 860	Gln	Val	Val	Pro
		Ile 865	Gly	Val	Gly	Pro	Asn 870	Ala	Asn	Val	Gln	Glu 875	Leu	Glu	Arg	Ile	Gl <sub>3</sub>
		Trp	Pro	Asn	Ala	Pro 885	Ile	Leu	Ile	Gln	Asp 890	Phe	Glu	Thr	Leu	Pro 895	Arç
	<210> 5	Glu	Ala	Pro	<b>Asp</b> 900	Leu	Val	Leu	Gln	<b>Arg</b> 905	Cys	Cys	Ser	Gly	Glu 910		
5	<211> 272 <212> PRT <213> Homo	sapier	าร														
	<400> 5																
		Ser 1	Leu	Ser	Cys	Arg 5	Pro	Pro	Met	Val	Lys 10	Leu	Val	Cys	Pro	Ala 15	Asp
		Asn	Leu	Arg	Ala 20	Glu	Gly	Leu	Glu	Су <b>з</b> 25	Thr	Lys	Thr	Cys	Gln 30	Asn	Tyr
		Asp	Leu	<b>Gl</b> u 35	Cys	Met	Ser	Met	Gly 40	Cys	Val	Ser	Gly	Cys 45	Leu	Cys	Pro
		Pro	Gly 50	Met	Val	Arg	His	Glu 55	Asn	Arg	Cys	Val	Ala 60	Leu	Glu	Arg	Cys
		Pro 65	Cys	Phe	His	Gln	Gly 70	Lys	Glu	Tyr	Ala	Pro 75	Gly	Glu	Thr	Val	Lys 80
10		Ile	Gly	Cys	Asn	Thr	Cys	Val	Cys	Gln	Asp	Arg	Lys	Trp	Asn	Cys	Thr

				85					90					95	
Asp	His	Val	Cys 100	Asp	Ala	Thr	Cys	Ser 105	Thr	Ile	Gly	Met	Ala 110	His	Tyr
Leu	Thr	Phe 115	Asp	Gly	Leu	Lys	Tyr 120	Leu	Phe	Pro	Gly	Glu 125	Cys	Gln	Tyr
Val	<b>Leu</b> 130	Val	Gln	Asp	Tyr	Cys 135	Gly	Ser	Aşn	Pro	Gly 140	Thr	Phe	Arg	Ile
Leu 145	Val	Gly	Asn	Lys	<b>Gly</b> 150	Cys	Ser	His	Pro	Ser 155	Val	Lys	Cys	Lys	<b>Lys</b> 160
Arg	Val	Thr	Ile	<b>Leu</b> 165	Val	Glu	Gly	Gly	Glu 170	Ile	Glu	Leu	Ph€	<b>Asp</b> 175	Gly
Glu	Val	Asn	<b>Va</b> l 180	Lys	Arg	Pro	Met	Lys 185	Asp	Glu	Thr	His	Phe 190	Glu	Val
Val	Glu	Ser 195	Gly	Arg	Tyr	Ile	Ile 200	Leu	Leu	Leu	Gly	<b>Lys</b> 205	Ala	Leu	Ser
Val	Val 210	Trp	Asp	Arg	His	<b>Leu</b> 215	Ser	Il⊕	Ser	Val	Val 220	Leu	Lys	Gln	Thr
Tyr 225	Gln	Glu	Lys	Val	Cys 230	Gly	Leu	Cys	Gly	Asn 235	Phe	Asp	Gly	Ile	Gln 240
Asn	Asn	Asp	Leu	Thr 245	Ser	Ser	Asn	Leu	Gln 250	Val	Glu	Glu	Asp	Pro 255	Val
Asp	Phe	Gly	Asn 260	Ser	Trp	Lys	Val	Ser 265	Ser	Gln	Cys	Ala	Asp 270	Thr	Arg

<210> 6 <211> 174 5 <212> PRT

<213> Homo sapiens

<400> 6

Val Ile Leu Leu Asp Gly Ser Ser Ser Phe Pro Ala Ser Tyr Phe 1 5 10 15

Asp Glu Met Lys Ser Phe Ala Lys Ala Phe Ile Ser Lys Ala Asn Ile 20 25 30

Gly Pro Arg Leu Thr Gln Val Ser Val Leu Gln Tyr Gly Ser Ile Thr 35 40 45

Thr Ile Asp Val Pro Trp Asn Val Val Pro Glu Lys Ala His Leu Leu 50 55 60

Ser Leu Val Asp Val Met Gln Arg Glu Gly Gly Pro Ser Gln Ile Gly 65 70 75 80

Asp Ala Leu Gly Phe Ala Val Arg Tyr Leu Thr Ser Glu Met His Gly 85 90 95

Ala Arg Pro Gly Ala Ser Lys Ala Val Val Ile Leu Val Thr Asp Val 100 \$105\$

Ser Val Asp Ser Val Asp Ala Ala Ala Asp Ala Ala Arg Ser Asn Arg 115 120 125

Val Thr Val Phe Pro Ile Gly Ile Gly Asp Arg Tyr Asp Ala Ala Gln 130 135 140

Leu Arg Ile Leu Ala Gly Pro Ala Gly Asp Ser Asn Val Val Lys Leu 145 150 155 160

Gln Arg Ile Glu Asp Leu Pro Thr Met Val Thr Leu Gly Asn 165 170

5 <210> 7 <211> 390

<212> PRT

<213> Homo sapiens

10 <400> 7

- Gln Cys Ile Gly Glu Asp Gly Val Gln His Gln Phe Leu Glu Ala Trp 1 5 10 15
- Val Pro Asp His Gln Pro Cys Gln Ile Cys Thr Cys Leu Ser Gly Arg 20 25 30
- Lys Val Asn Cys Thr Thr Gln Pro Cys Pro Thr Ala Lys Ala Pro Thr 35 40 45
- Cys Gly Leu Cys Glu Val Ala Arg Leu Arg Gln Asn Ala Asp Gln Cys 50 60
- Cys Pro Glu Tyr Glu Cys Val Cys Asp Pro Val Ser Cys Asp Leu Pro 65 70 75 80
- Pro Val Pro His Cys Glu Arg Gly Leu Gln Pro Thr Leu Thr Asn Pro

				85					90					95	
Gly	Glu	Cys	Arg 100	Pro	Asn	Phe	Thr	Cys 105	Ala	Cys	Arg	Lys	Glu 110	Glu	Cys
Lys	Arg	Val 115	Ser	Pro	Pro	Ser	Cys 120	Pro	Pro	His	Arg	Leu 125	Pro	Thr	Leu
Arg	Lys 130	Thr	Gln	Cys	Cys	<b>Asp</b> 135	Glu	Tyr	Glu	Cys	Ala 140	Cys	Asn	Cys	Val
Asn 145	Ser	Thr	Val	Ser	Cys 150	Pro	Leu	Gly	Tyr	Leu 155	Ala	Ser	Thr	Ala	Thr 160
Asn	Asp	Cys	Gly	Cys 165	Thr	Thr	Thr	Thr	Cys 170	Leu	Pro	Asp	Lys	Val 175	Cys
Val	His	Arg	Ser 180	Thr	Ile	Tyr	Pro	Val 185	Gly	Gln	Phe	Trp	Glu 190	Glu	Gly
Cys	Asp	Val 195	Суѕ	Thr	Суѕ	Thr	Asp 200	Met	Glu	Asp	Ala	Val 205	Met	Gly	Leu
Arg	Val 210	Ala	Gln	Cys	Ser	Gln 215	Lys	Pro	Cys	Glu	Asp 220	Ser	Cys	Arg	Ser
Gly 225	Phe	Thr	Tyr	Val	Leu 230	His	Glu	Gly	Glu	Cys 235	Cys	Gly	Arg	Cys	Leu 240
Pro	Ser	Ala	Cys	Glu 245	Val	Val	Thr	Gly	Ser 250	Pro	Arg	Gly	Asp	Ser 255	Gln
Ser	Ser	Trp	Lys 260	Ser	Val	Gly	Ser	Gln 265	Trp	Ala	Ser	Pro	Glu 270	Asn	Pro
Cys	Leu	Ile 275	Asn	Glu	Cys	Val	Arg 280	Val	Lys	Glu	Glu	Val 285	Phe	Ile	Gln
	Arg 290				_	295					300		-		
Gly 305	Phe	Gln	Leu	Ser	Cys 310	Lys	Thr	Ser	Ala	Cys 315	Cys	Pro	Ser	Cys	Arg 320
Cys	Glu	Arg	Met	Glu	Ala	Cys	Met	Leu	Asn 330		Thr	Val	Ile	Gly	

Gly Lys Thr Val Met Ile Asp Val Cys Thr Thr Cys Arg Cys Met Val 340 345 350

Gln Val Gly Val Ile Ser Gly Phe Lys Leu Glu Cys Arg Lys Thr Thr 355 360 365

Cys Asn Pro Cys Pro Leu Gly Tyr Lys Glu Glu Asn Asn Thr Gly Glu 370 380

Cys Cys Gly Arg Cys Leu 385 390

#### REIVINDICACIONES

- 1. Una composición que comprende un complejo de factor VIII y un péptido de factor von Willebrand, 5 donde el péptido de factor von Willebrand consiste en los aminoácidos 764 a 2128 de la SEQ ID NO: 1.
  - 2. La composición de la reivindicación 1, donde los péptidos del factor von Willebrand tienen al menos una propiedad seleccionada del grupo que consiste en
- 10 (i) una constante de unión por afinidad para heparina de K<sub>D</sub> > 1 nM, preferentemente ≥ 2,43 nM;
  - (i) una constante de unión por afinidad para el colágeno III de K<sub>D</sub> > 5 nM, preferentemente ≥ 17,02 nM;
  - (iii) una constante de unión por afinidad para el factor VIII de K<sub>D</sub> < 100 NM o < 10 nM, preferentemente ≤ 6,19 nM; y
  - (iv) una inhibición de la unión a fosfolípidos de factor VIII de al menos el 70 %, preferentemente de al menos el 80 %.

15

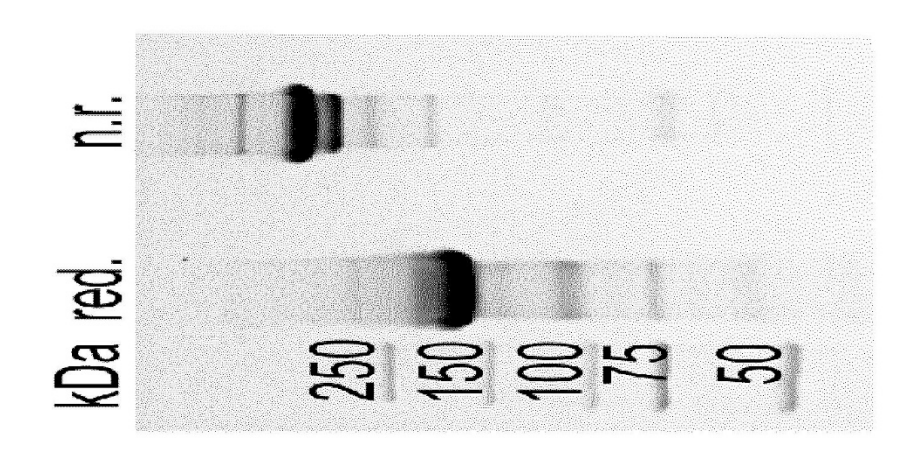
- 3. La composición de la reivindicación 1 o 2, donde los péptidos del factor von Willebrand se derivan del factor von Willebrand por escisión proteolítica o escisión química, preferentemente por escisión proteolítica con proteasa S. aureus V-8.
- 20 4. La composición de una cualquiera de las reivindicaciones 1 a 3, donde el factor VIII es un factor VIII de longitud completa, un factor VIII con dominio B eliminado o un factor VIII en el que el dominio B ha sido reemplazado por un enlazador artificial o un fragmento del dominio B natural o una combinación de los mismos.
- 5. La composición de una cualquiera de las reivindicaciones 1 a 4, donde el factor VIII es factor VIII 25 derivado de plasma o factor VIII recombinante, donde un factor VIII recombinante se expresa preferentemente en la línea celular humana.
  - 6. La composición de una cualquiera de las reivindicaciones 1 a 5, donde la composición tiene al menos una de las propiedades seleccionadas del grupo que consiste en

30

- (i) los péptidos de factor von Willebrand protegen el factor VIII de la unión del anticuerpo para minimizar la formación de inhibidores en un paciente;
- (ii) estabiliza el factor VIII para proporcionar una actividad del factor VIII restante de al menos el 90 % después del almacenamiento durante 12 meses en forma líquida congelada a -70 °C;
- (iii) estabiliza el factor VIII para proporcionar una actividad del factor VIII restante de al menos el 90 % después del almacenamiento durante 24 meses en forma liofilizada a 5 °C;
  - (Iv) estabiliza el factor VIII para proporcionar una actividad del factor VIII restante de al menos el 90 % después del almacenamiento durante 12 meses en forma liofilizada a 25 °C;
  - (v) prolonga la vida media del factor VIII in vivo en al menos un 20 %; y
- 40 (vi) reduce la formación de inhibidores en pacientes no tratados previamente a menos del 20 %, después del tratamiento con la composición durante 6 meses.
  - 7. La composición de cualquiera de las reivindicaciones 1 a 6 para su uso en el tratamiento o prevención de un trastorno hemorrágico.

45

- 8. La composición para su uso de acuerdo con la reivindicación 7, donde el tratamiento o prevención comprende la administración no intravenosa de la composición, preferentemente donde la administración no intravenosa es una invección subcutánea.
- 50 9. Un procedimiento para la reducción de virus en una preparación de la composición de una cualquiera de las reivindicaciones 1 a 6 que comprende la etapa de nanofiltrar los péptidos del factor von Willebrand antes o después de una combinación con el factor VIII, reduciendo así el parvovirus porcino, si está presente, en al menos un factor de 100





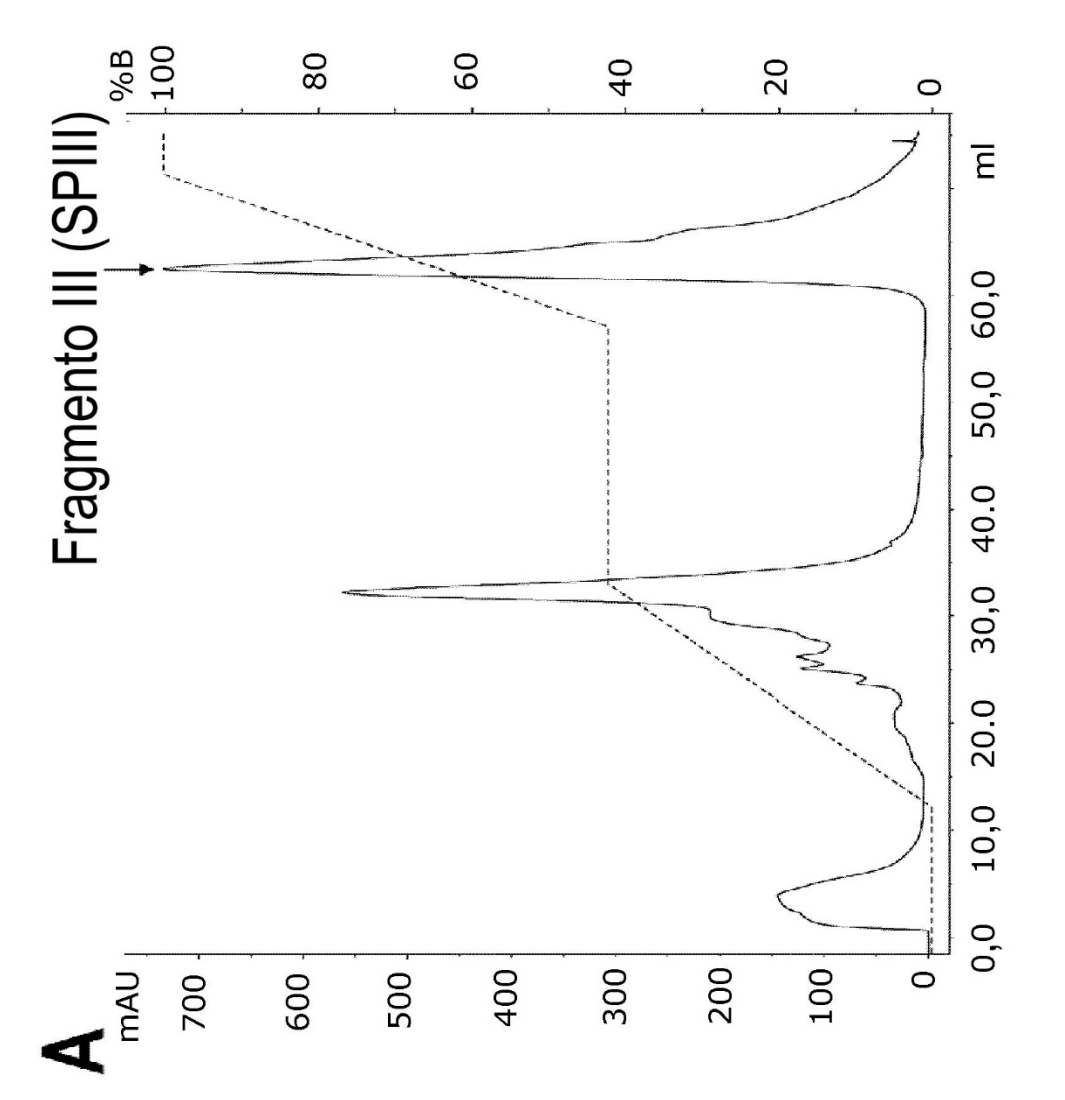


Fig. 1

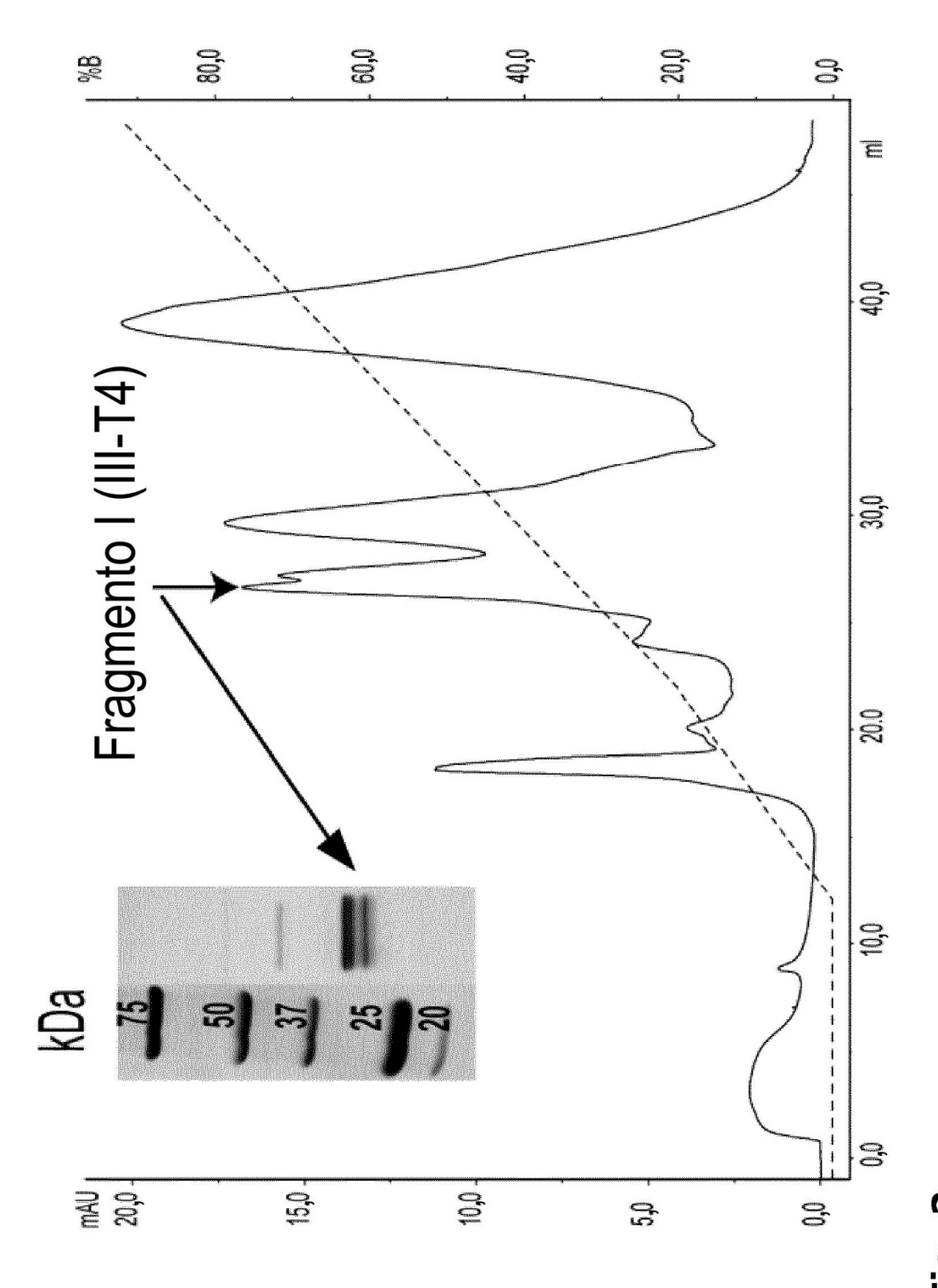


FIG. 2

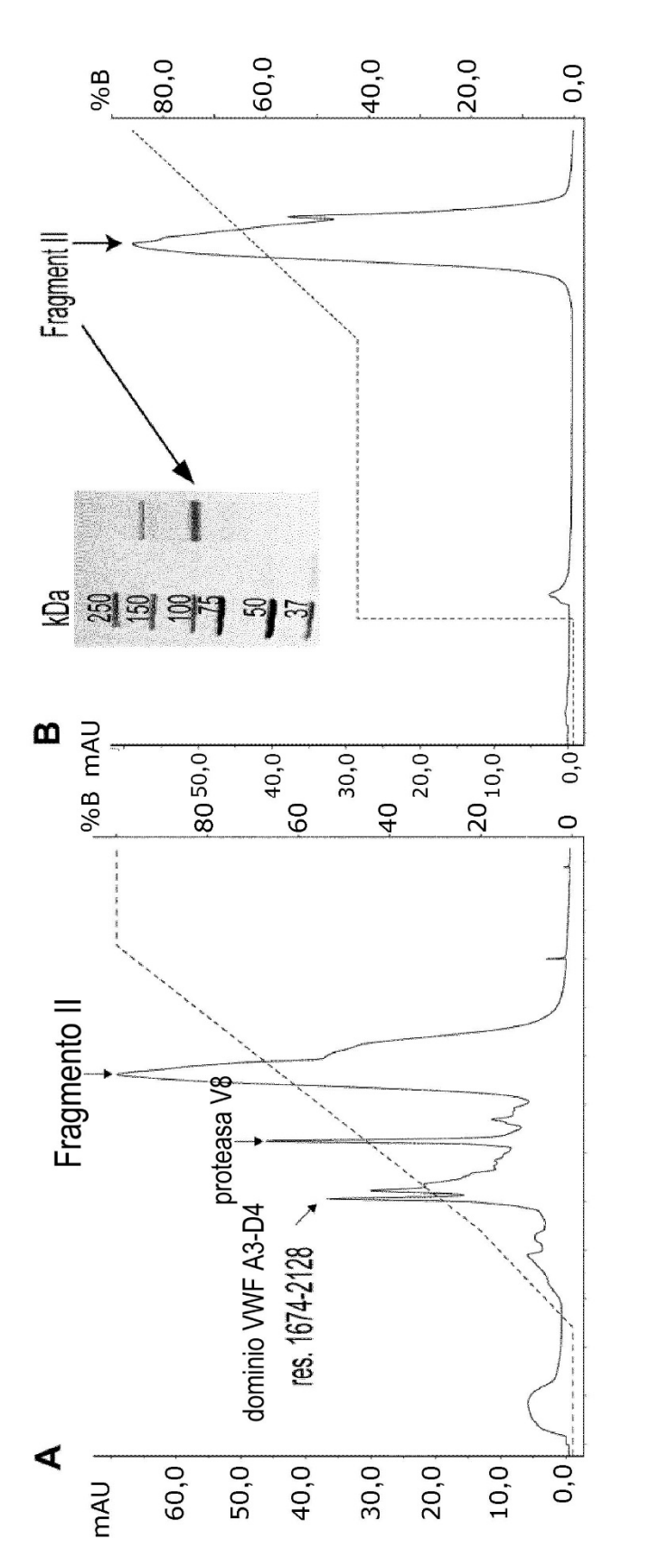
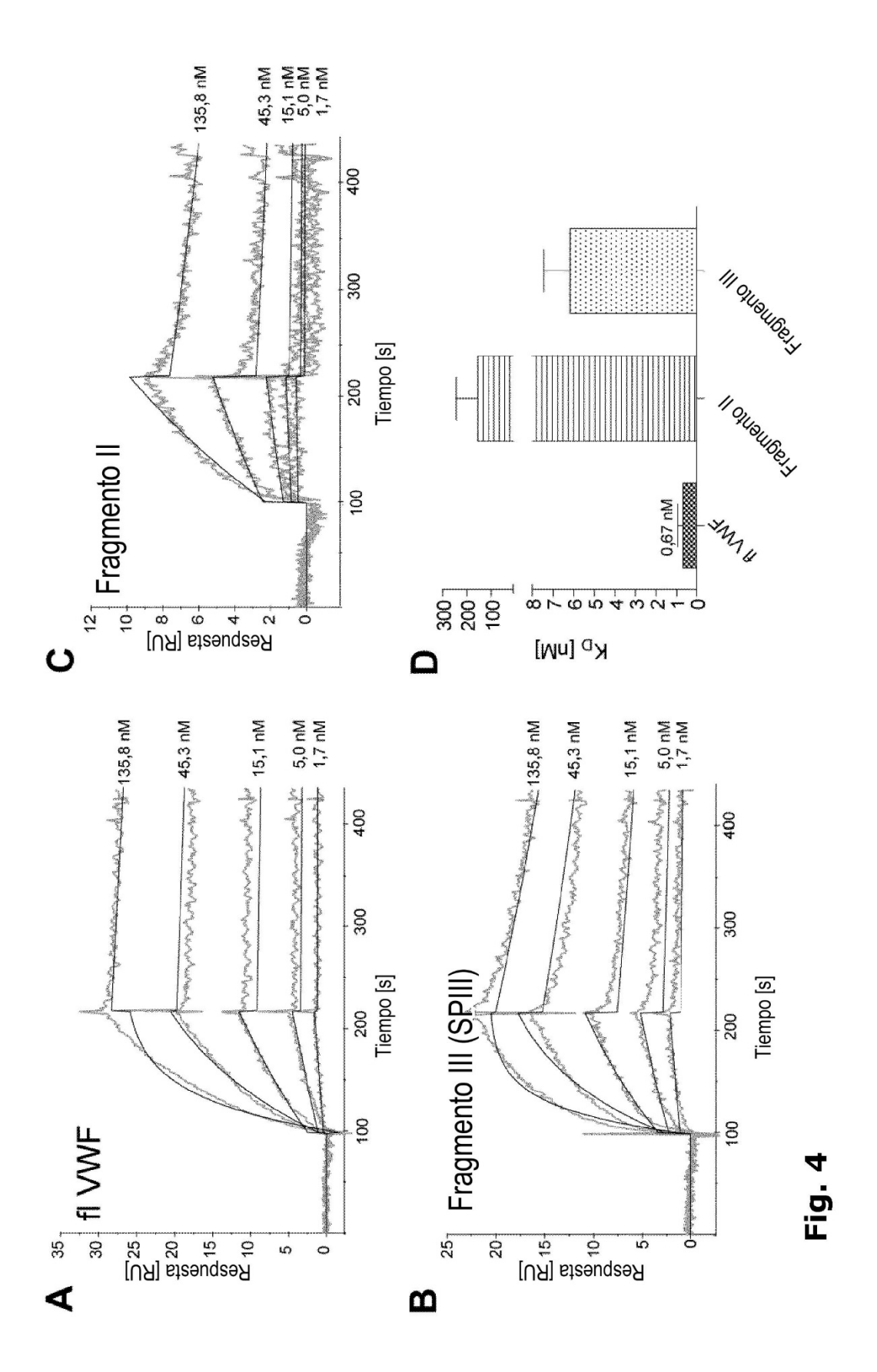
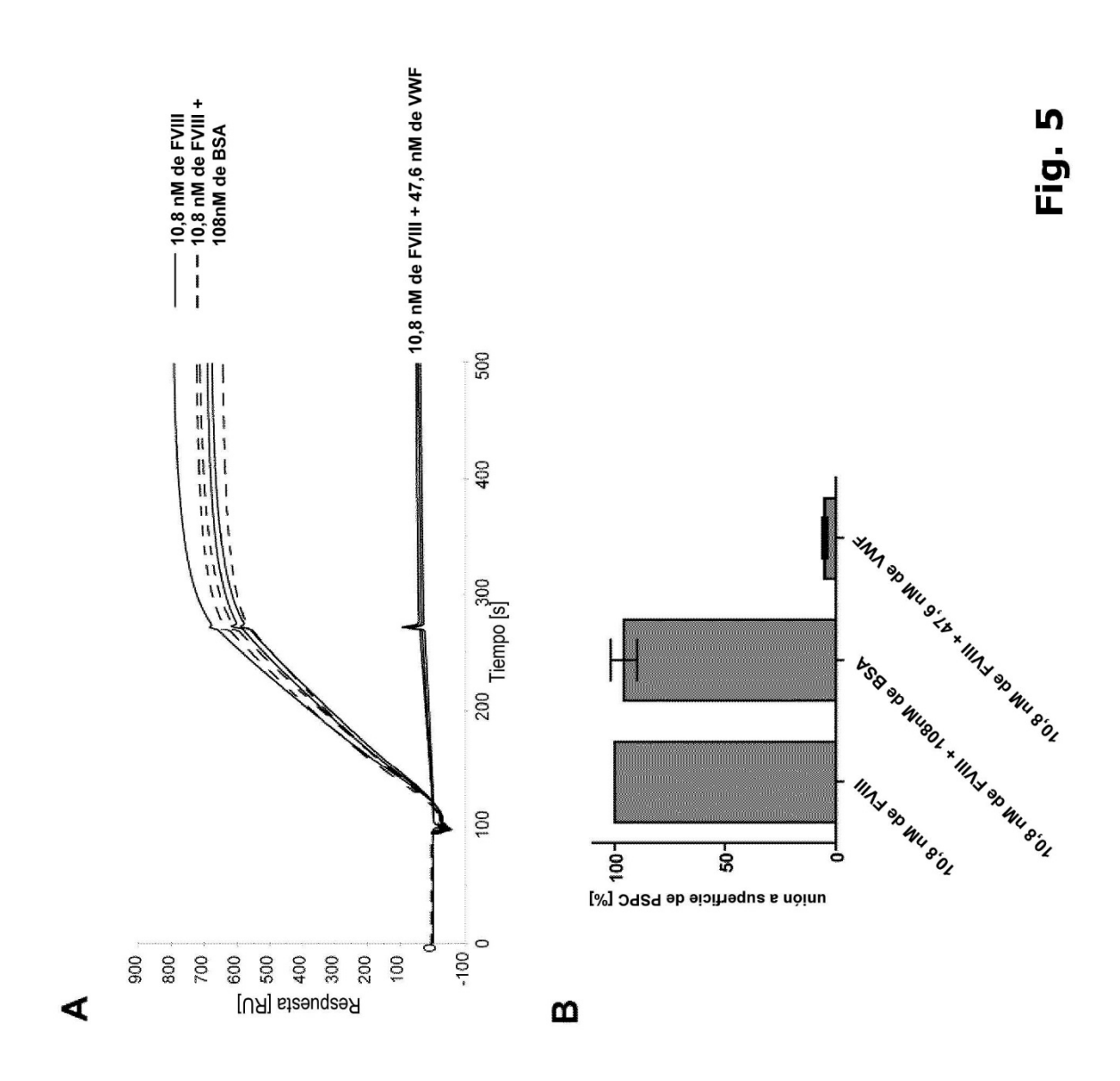
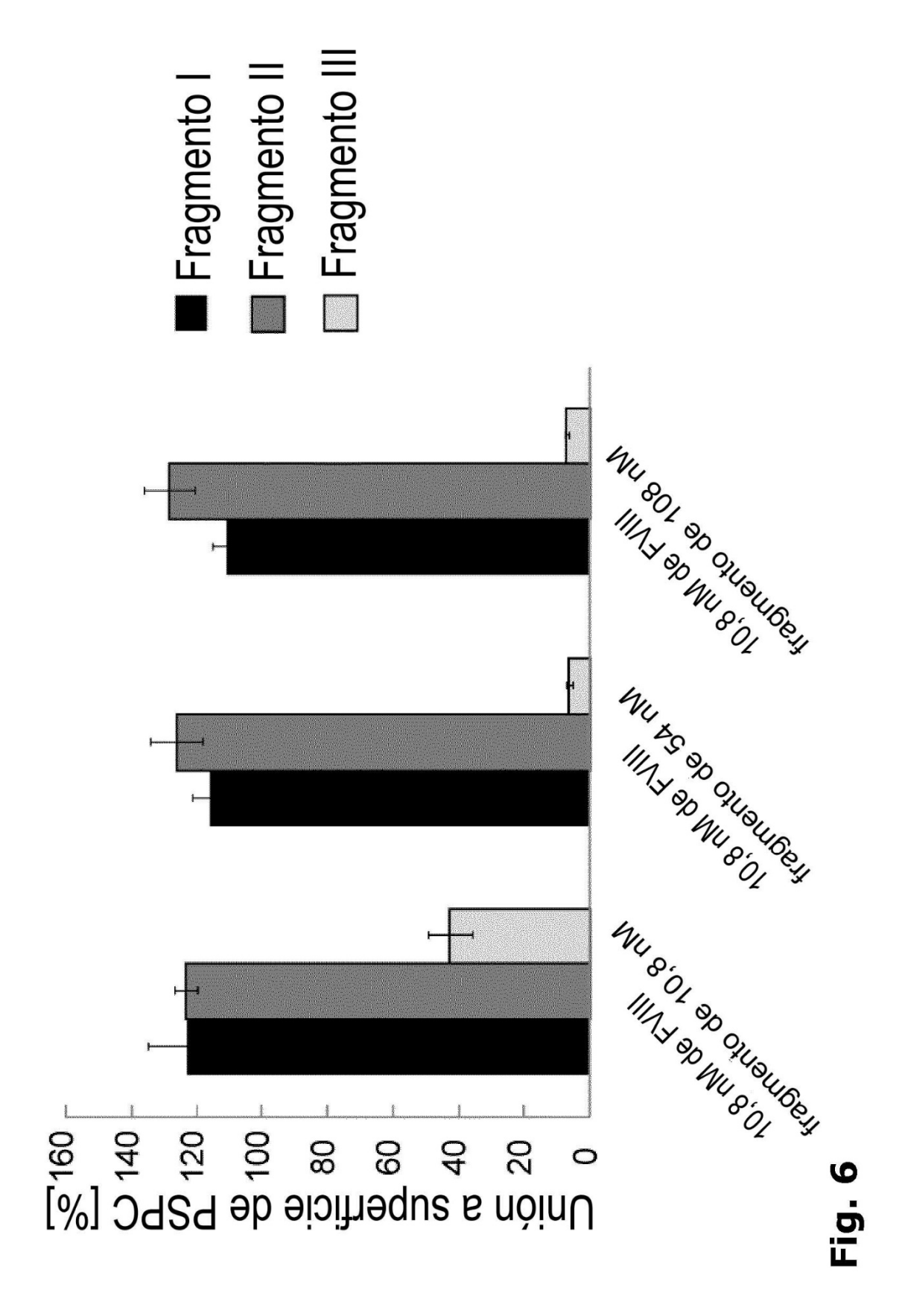
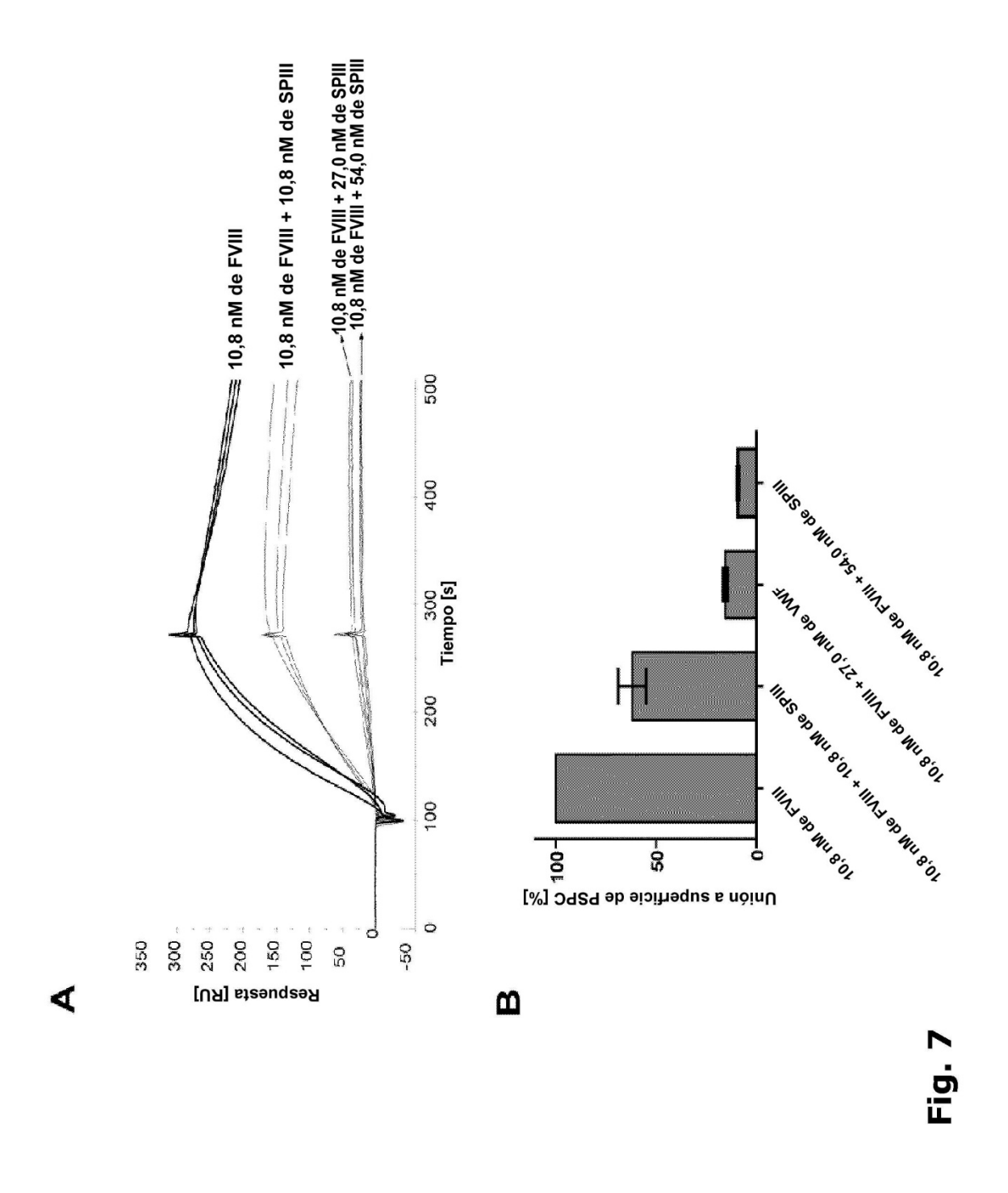


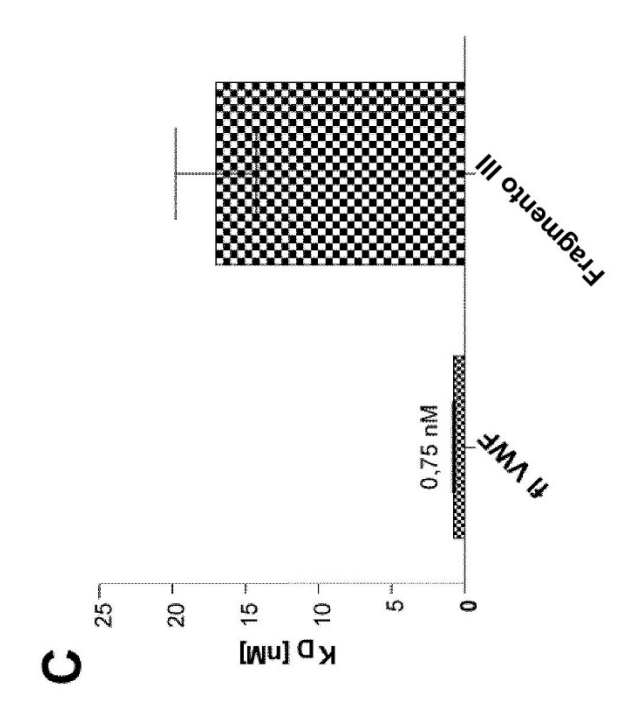
Fig. 3











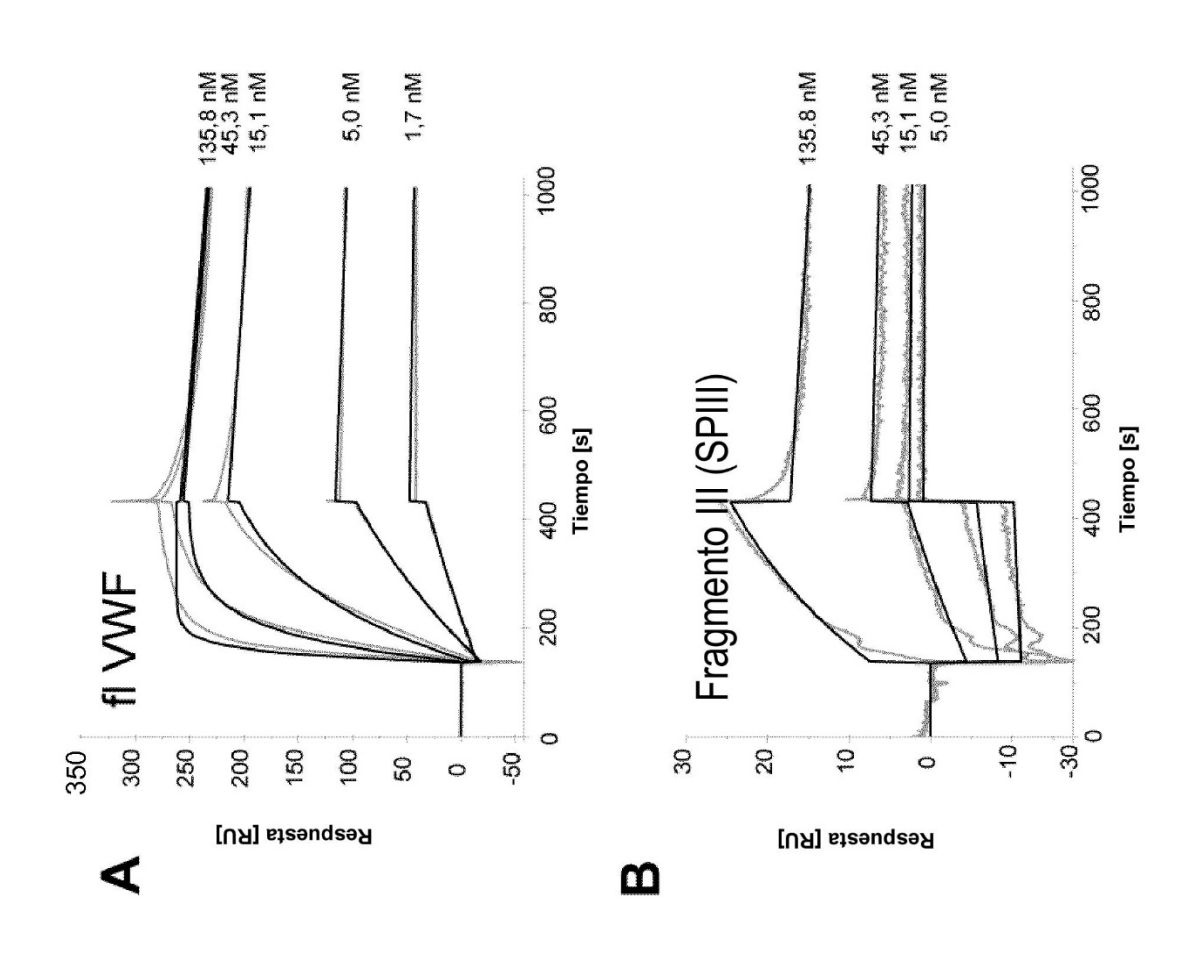
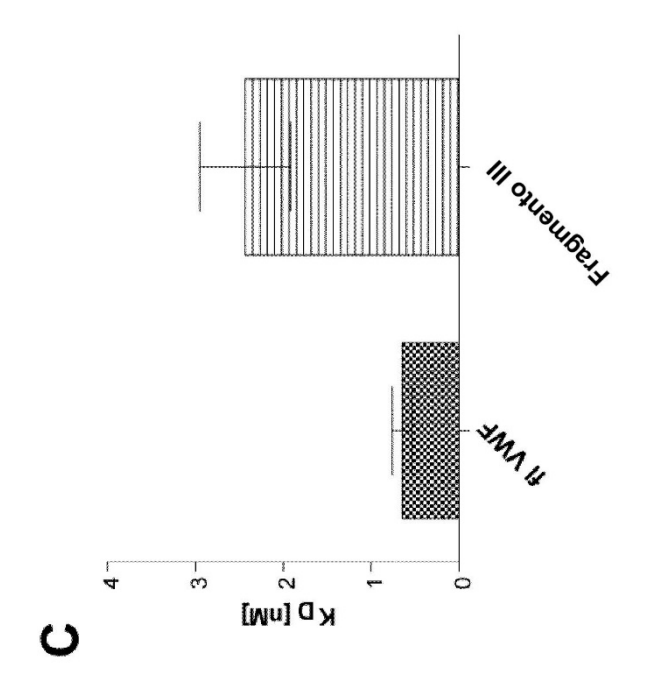
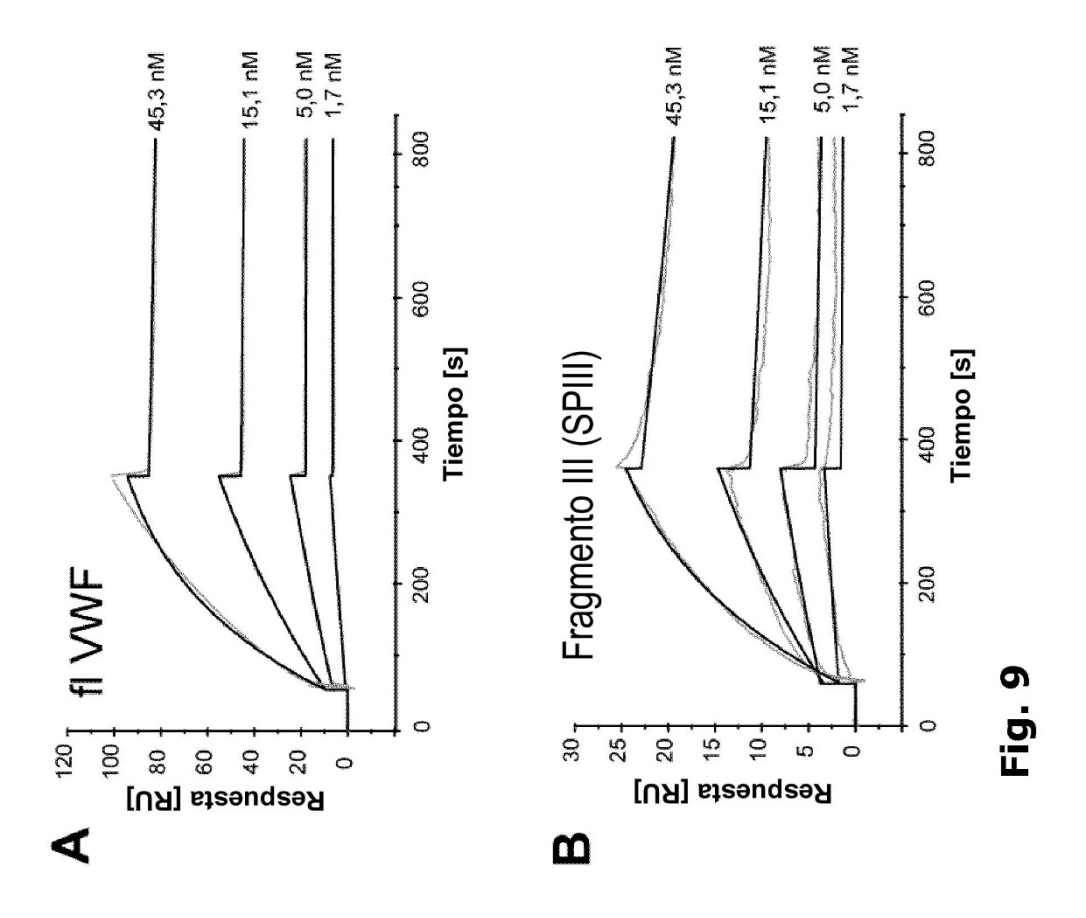


Fig.





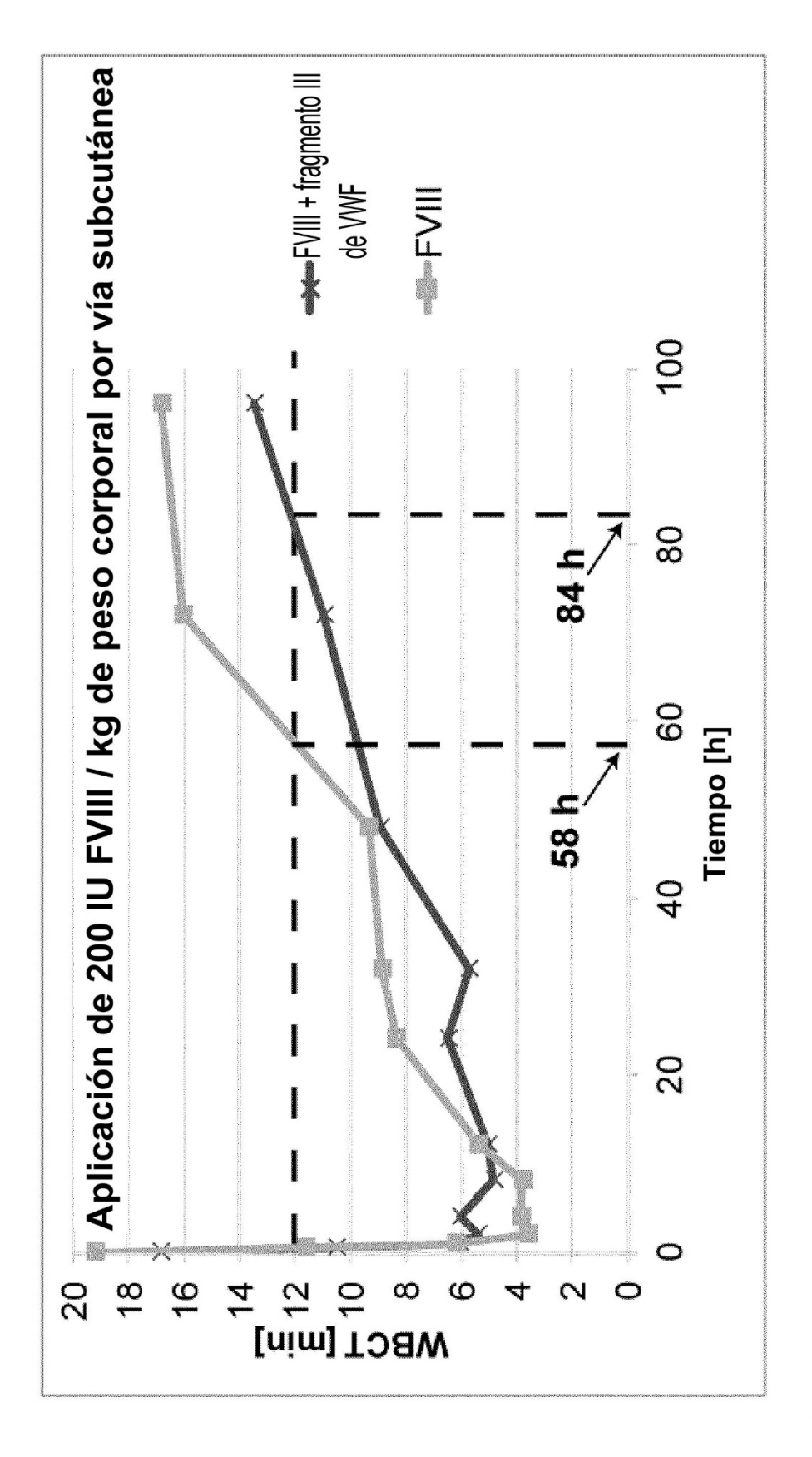
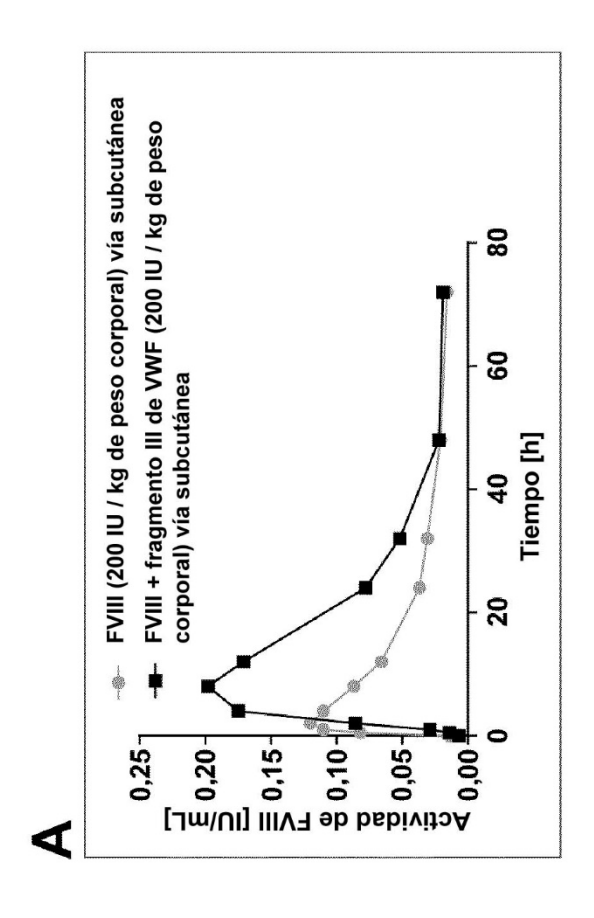
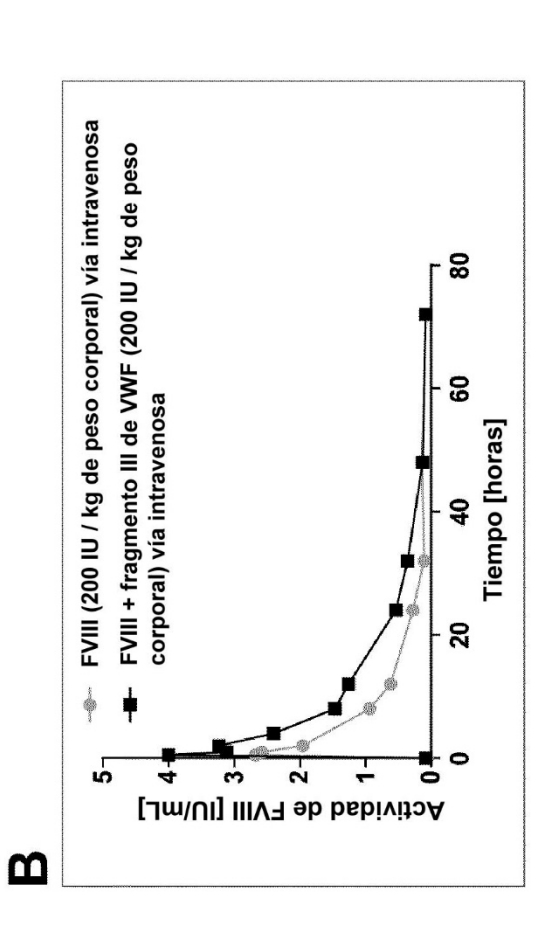
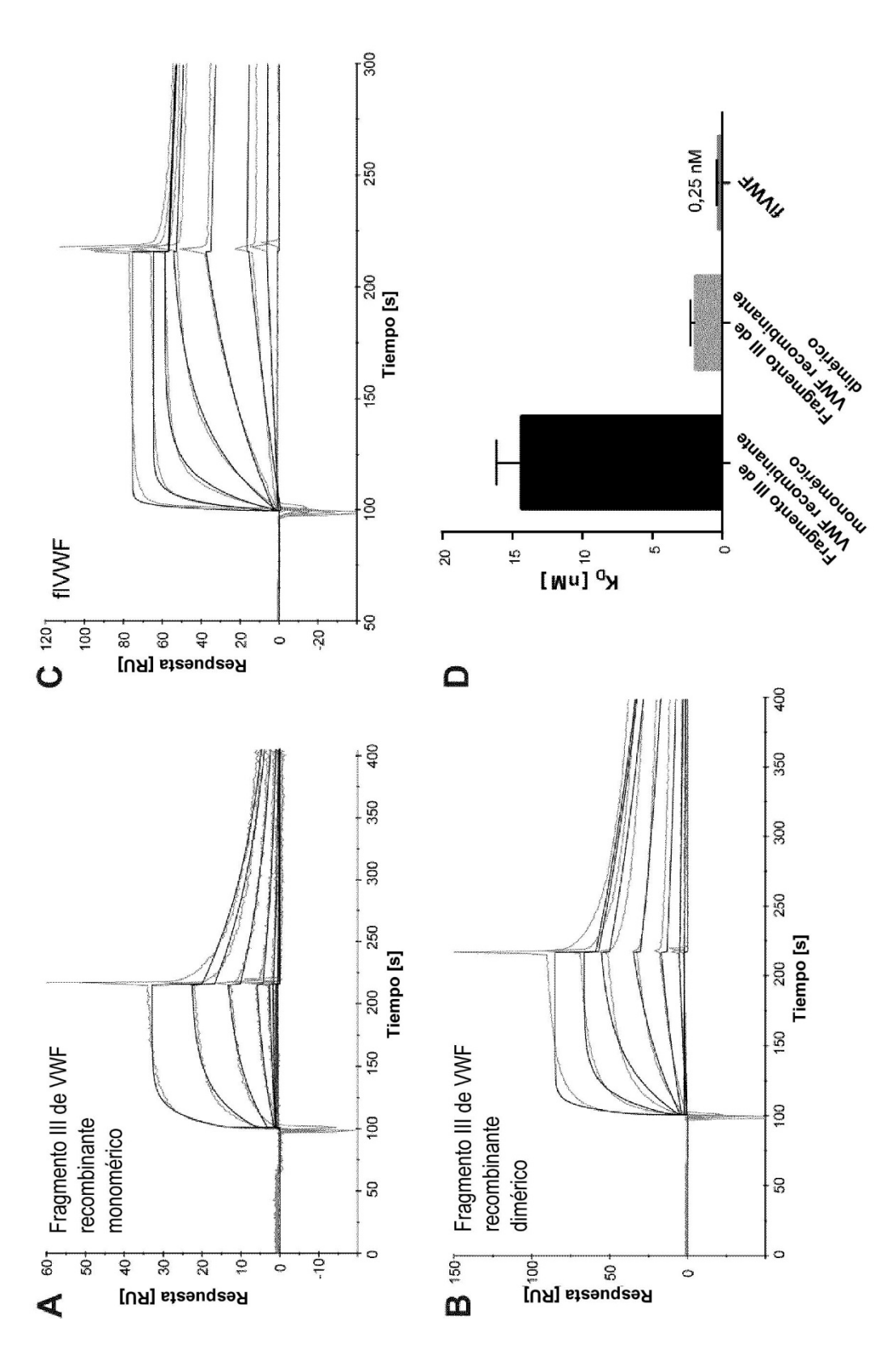


Fig. 10

Fig. 11







Fia. 1

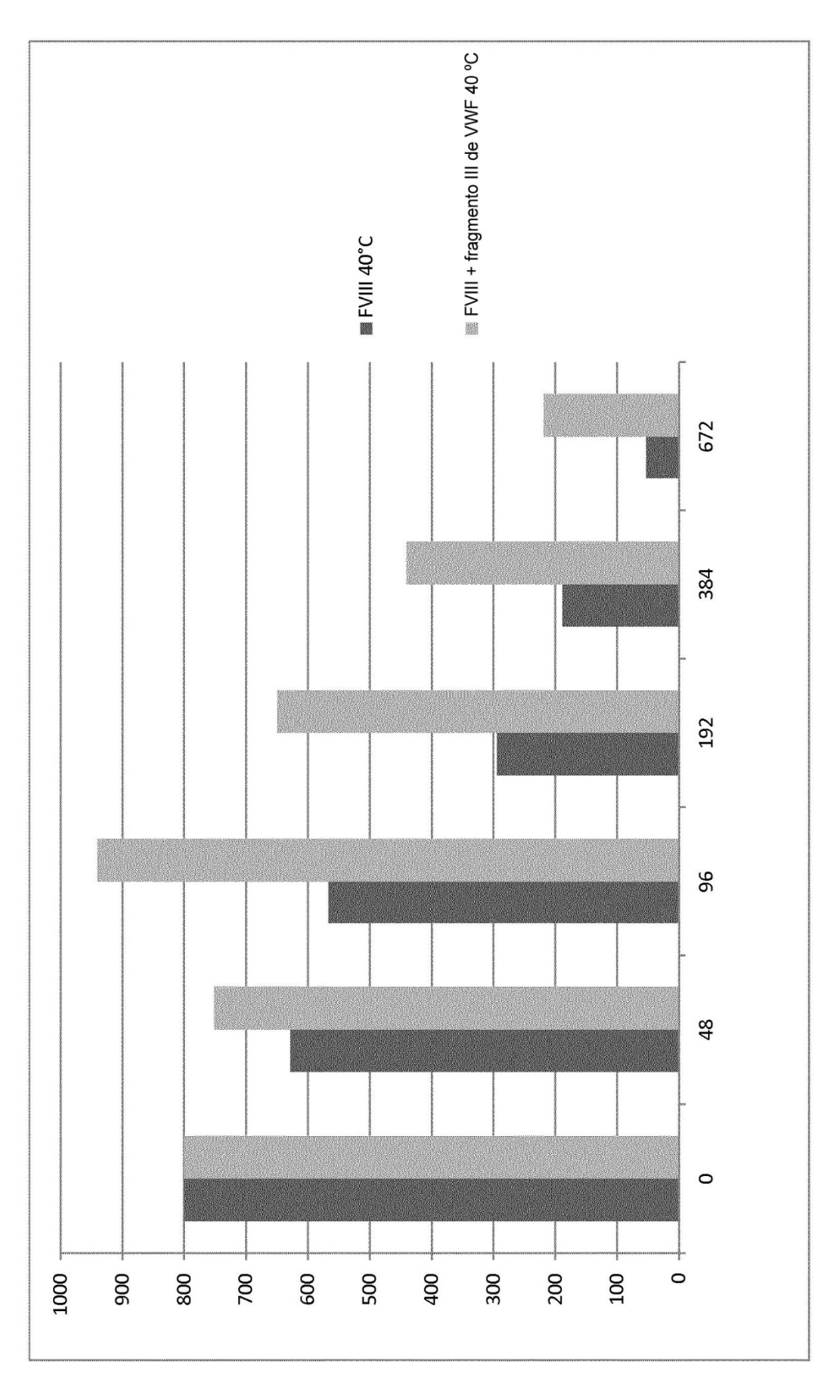


Fig. 13

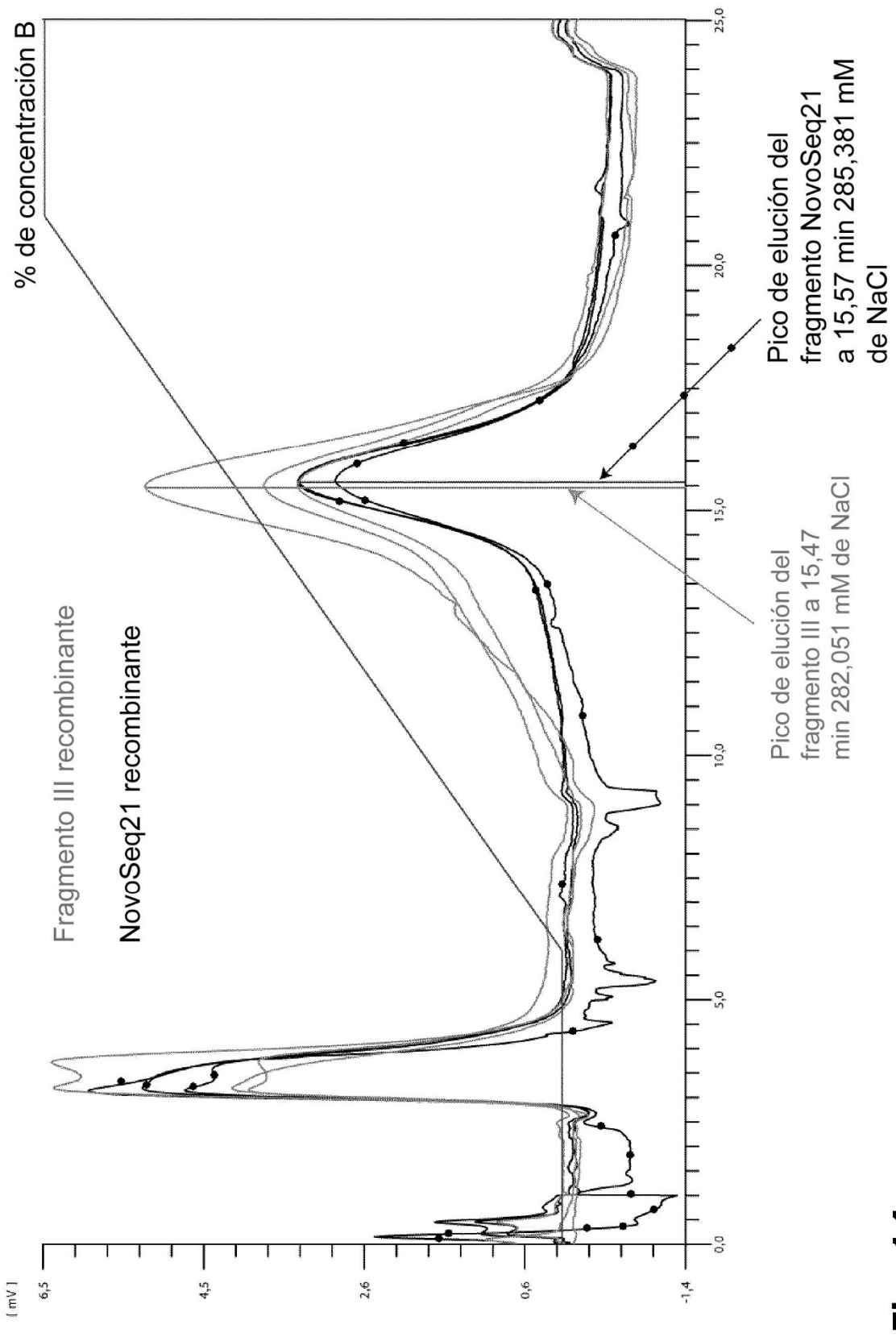


Fig. 14